



UNIVERSIDAD NACIONAL AUTÓNOMA DE MÉXICO
POSGRADO EN CIENCIAS BIOLÓGICAS
FACULTAD DE ESTUDIOS SUPERIORES IZTACALA
BIOLOGIA EVOLUTIVA

VARIACIÓN DEL GENOMA MITOCONDRIAL EN *MAMMILLARIA* (CACTACEAE)

TESIS

(POR ARTÍCULO CIENTÍFICO)

**STRUCTURAL AND GENE COMPOSITION VARIATION OF THE COMPLETE
MITOCHONDRIAL GENOME OF *MAMMILLARIA HUITZILOPOCHTLI* (CACTACEAE,
CARYOPHYLLALES), REVEALED BY *DE NOVO* ASSEMBLY**

QUE PARA OPTAR POR EL GRADO DE:

MAESTRO EN CIENCIAS BIOLÓGICAS

PRESENTA:

JOSÉ DAVID CRUZ PLANCARTE

TUTOR(A) PRINCIPAL DE TESIS: DRA. SOFÍA SOLÓRZANO LUJANO
FACULTAD DE ESTUDIOS SUPERIORES IZTACALA, UNAM

COMITÉ TUTOR: DR. DIEGO GONZALEZ HALPHEN
INSTITUTO DE FISIOLÓGÍA CELULAR, UNAM
DR. FIDEL ALEJANDRO SÁNCHEZ FLORES
INSTITUTO DE BIOTECNOLOGÍA, UNAM

LOS REYES IZTACALA, TLALNEPANTLA, ESTADO DE MEXICO, 2023



Universidad Nacional
Autónoma de México



UNAM – Dirección General de Bibliotecas
Tesis Digitales
Restricciones de uso

DERECHOS RESERVADOS ©
PROHIBIDA SU REPRODUCCIÓN TOTAL O PARCIAL

Todo el material contenido en esta tesis esta protegido por la Ley Federal del Derecho de Autor (LFDA) de los Estados Unidos Mexicanos (México).

El uso de imágenes, fragmentos de videos, y demás material que sea objeto de protección de los derechos de autor, será exclusivamente para fines educativos e informativos y deberá citar la fuente donde la obtuvo mencionando el autor o autores. Cualquier uso distinto como el lucro, reproducción, edición o modificación, será perseguido y sancionado por el respectivo titular de los Derechos de Autor.



UNIVERSIDAD NACIONAL AUTÓNOMA DE MÉXICO
POSGRADO EN CIENCIAS BIOLÓGICAS
FACULTAD DE ESTUDIOS SUPERIORES IZTACALA
BIOLOGIA EVOLUTIVA

VARIACIÓN DEL GENOMA MITOCONDRIAL EN *MAMMILLARIA* (CACTACEAE)

TESIS

(POR ARTÍCULO CIENTÍFICO)

**STRUCTURAL AND GENE COMPOSITION VARIATION OF THE COMPLETE
MITOCHONDRIAL GENOME OF *MAMMILLARIA HUITZILOPOCHTLI* (CACTACEAE,
CARYOPHYLLALES), REVEALED BY *DE NOVO* ASSEMBLY**

QUE PARA OPTAR POR EL GRADO DE:

MAESTRO EN CIENCIAS BIOLÓGICAS

PRESENTA:

JOSÉ DAVID CRUZ PLANCARTE

TUTOR(A) PRINCIPAL DE TESIS: DRA. SOFÍA SOLÓRZANO LUJANO
FACULTAD DE ESTUDIOS SUPERIORES IZTACALA, UNAM

COMITÉ TUTOR: DR. DIEGO GONZALEZ HALPHEN
INSTITUTO DE FISIOLÓGÍA CELULAR, UNAM
DR. FIDEL ALEJANDRO SÁNCHEZ FLORES
INSTITUTO DE BIOTECNOLOGÍA, UNAM

LOS REYES IZTACALA, TLALNEPANTLA, ESTADO DE MEXICO, 2023

COORDINACIÓN DEL POSGRADO EN CIENCIAS BIOLÓGICAS

FACULTAD DE ESTUDIOS SUPERIORES IZTACALA

OFICIO CPCB/1100/2022

ASUNTO: Oficio de Jurado

M. en C Ivonne Ramírez Wence
Directora General de Administración Escolar, UNAM
Presente

Me permito informar a usted que en la reunión ordinaria del Comité Académico del Posgrado en Ciencias Biológicas, celebrada el día **29 de agosto de 2022** se aprobó el siguiente jurado para el examen de grado de **MAESTRO EN CIENCIAS BIOLÓGICAS** en el campo de conocimiento de **Biología Evolutiva** del alumno **CRUZ PLANCARTE JOSÉ DAVID** con número de cuenta **414082920** por la modalidad de graduación de **tesis por artículo científico** titulado: **“Structural and gene composition variation of the complete mitochondrial genoma of *Mammillaria hutzilopochtli* (Cactaceae, Caryophyllales), revealed by de novo assembly”**, que es producto del proyecto realizado en la maestría que lleva por título: **“Variación del genoma mitocondrial en *Mammillaria* (Cactaceae)”**, ambos realizados bajo la dirección de la **DRA. SOFÍA SOLÓRZANO LUJANO**, quedando integrado de la siguiente manera:

Presidente: **DRA. PATRICIA DOLORES DÁVILA ARANDA**
Vocal: **DR. ÁNGEL SALVADOR ARIAS MONTES**
Vocal: **DRA. MARÍA HILDA FLORES OLVERA**
Vocal: **DRA. HELGA OCHOTERENA BOOTH**
Secretario: **DR. FIDEL ALEJANDRO SÁNCHEZ FLORES**

Sin otro particular, me es grato enviarle un cordial saludo.

ATENTAMENTE
“POR MI RAZA HABLARÁ EL ESPÍRITU”
Ciudad Universitaria, Cd. Mx., a 28 de noviembre de 2022

COORDINADOR DEL PROGRAMA



DR. ADOLFO GERARDO NAVARRO SIGÜENZA



AGRADECIMIENTOS INSTITUCIONALES

A todas las instituciones que me permitieron realizar mi proyecto de maestría, primeramente, al Posgrado en Ciencias Biológicas de la UNAM, a la Facultad de Estudios Superiores Iztacala y al Laboratorio de Ecología Molecular y Evolución ubicado en la Unidad de Biotecnología y Prototipos (UBIPRO). Sin el apoyo, el tiempo y las herramientas brindadas por estas instituciones académicas el desarrollo de este proyecto no habría sido posible.

Al Consejo Nacional de Ciencia y Tecnología (CONACyT) por la beca de maestría que me otorgó (No. de CVU 1086093). La realización y obtención de mi grado de maestría habría sido imposible sin este apoyo económico. Esta tesis se financió en su totalidad por el Programa de Apoyo a Proyectos de Investigación e Innovación Tecnológica (PAPIIT) de la UNAM IN228619 (Caracterización de la estructura del genoma completo de cloroplasto de *Mammillaria* y sus especies cercanas).

Un agradecimiento especial a mi tutora, la Dra. Sofía Solórzano Lujano. Por haberme permitido formar parte de su equipo de trabajo estos años y por el tiempo dedicado a mi formación. Igualmente agradezco a los miembros de mi Comité Tutor, el Dr. Diego González Halphen y al Dr. Fidel Alejandro Sánchez Flores, sus comentarios fueron de gran importancia.

AGRADECIMIENTOS A TÍTULO PERSONAL

Quiero agradecer a todas las personas con las que he coincidido a lo largo de mi maestría. A mi tutora, la Dra. Sofía Solórzano por toda la dedicación y el tiempo invertido en mi formación, fue una gran enseñanza en mi vida académica.

A los miembros de mi jurado que se tomaron el tiempo para revisar esta tesis, los Doctores Ángel Salvador Arias Montes y Fidel Alejandro Sánchez Flores; y las Doctoras Helga Ochoterena Booth, María Hilda Flores Olvera y Patricia Dolores Dávila Aranda, sus comentarios fueron importantes.

A la Mtra. Delil Chincoya, por el buen trato que recibí de ti, los consejos y el apoyo, en el laboratorio de molecular y en el laboratorio de cómputo.

A toda la gente de la UBIPRO, FES Iztacala. En particular a todas las personas del Banco de Semillas que siempre me recibieron con un cálido saludo y con quienes compartimos más de un pastel.

Entrando en el ámbito familiar. Primeramente, quisiera expresar el profundo agradecimiento hacia mis padres, Daniel Cruz y Rebeca Plancarte. Su amor, su apoyo y sus consejos fueron vitales, gracias por siempre estar ahí para mí y por haberme instruido en todos los aspectos de mi vida. Gracias a ustedes he cumplido las metas que me he propuesto hasta la fecha.

A mis hermanos. Van por orden alfabético, pero ustedes saben que son igualmente especiales para mí, Daniel, Indira y Jenner. Gracias por permanecer unidos, sin duda alguna compartimos una hermandad y una amistad como pocos hermanos logran tener. Estoy orgulloso por sus logros y me motivan a seguir mejorando. Las gracias también son infinitas, por el apoyo, las charlas y las experiencias que hemos vivido juntos.

Para concluir, y sin poder explicar con palabras la importancia de su compañía, quiero expresarle todo mi agradecimiento, mi cariño y mi amor a Larisa. Empezamos y finalizamos este proyecto juntos, es un logro de los dos.

ÍNDICE

1. RESUMEN.....	1
2. ABSTRACT.....	2
3. INTRODUCCIÓN GENERAL	
4.1 Genoma mitocondrial: evolución, composición genética y variación estructural.....	3
4.2 El ADN mitocondrial en Caryophyllales y Cactaceae.....	5
4. ARTÍCULO CIENTÍFICO DE MAESTRÍA	8
5. DISCUSIÓN GENERAL	34
6. CONCLUSIONES GENERALES	37
7. REFERENCIAS BIBLIOGRÁFICAS	38

ÍNDICE DE FIGURAS Y TABLAS

- Figura 1.** Composición genética y tamaño total del genoma mitocondrial de *Mammillaria huitzilopochtli* 13
- Tabla 1.** Composición genética del genoma mitocondrial de *Mammillaria huitzilopochtli*, agrupados en genes codificantes de proteínas, ARNs ribosomales y de transferencia 13
- Tabla 2.** Distribución y localización de los microsatélites de cinco y seis nucleótidos 14
- Figura 2.** Longitud y dirección de los directos e inversos repetidos identificados en el genoma mitocondrial de *Mammillaria huitzilopochtli* 15
- Tabla 3.** Genes, espaciadores intergénicos e intrones de origen de cloroplasto identificados en el genoma mitocondrial de *Mammillaria huitzilopochtli*. Datos obtenidos a partir de la comparación con el genoma de cloroplasto disponible en GenBank (MN517612) 16
- Figura 3.** Árbol filogenético de máxima verosimilitud basado en loci mitocondriales 17
- Figura 4.** Comparación del tamaño del genoma (barras), el contenido de GC (línea azul) y la cantidad total de genes (número arriba de las barras) del genoma mitocondrial de *Mammillaria huitzilopochtli* con otros 20 genomas de plantas terrestres 18
- Figura 5.** Comparación del contenido de genes del ADN mitocondrial de *Mammillaria huitzilopochtli* con otras 20 plantas terrestres. El color de los cuadros indica la presencia del gen (negro), ausencia (blanco) o la pseudogenización (gris) 19
- Figura 6.** Valores de Ka/Ks de 25 genes codificantes de proteínas comparados entre *Mammillaria huitzilopochtli* y otras 6 especies de angiospermas 20

RESUMEN

El genoma mitocondrial de plantas terrestres es conocido por características particulares como su gran tamaño y el elevado número de rearrreglos estructurales en comparación con el genoma mitocondrial en animales o el genoma de cloroplasto. A pesar de ser poco estudiados, los genomas mitocondriales de plantas ya caracterizados y disponibles públicamente muestran una gran diversidad de tamaño, estructura, secuencias repetidas y secuencias de origen de cloroplasto, núcleo y transferidas horizontalmente desde otras especies. La familia Cactaceae (Caryophyllales) no tiene ninguna especie con el genoma mitocondrial caracterizado, por lo tanto, en este estudio ensamblamos y caracterizamos el genoma mitocondrial de *Mammillaria huitzilopochtli*, el cual tiene una longitud de 2,050,004 pb y un contenido de GC de 42.9%. El análisis del genoma permitió identificar 34 genes codificantes de proteínas, 28 ARNs de transferencia y 3 ARNs ribosomales típicos de plantas terrestres, de estos, cinco genes eran copias de genes presentes en el cloroplasto. La comparación con otras plantas terrestres y especies del orden Caryophyllales reveló que el genoma mitocondrial aquí caracterizado se encuentra entre los más grandes del orden. El análisis filogenético mostró relaciones concordantes del orden Caryophyllales con respecto a otras filogenias reconstruidas con loci de cloroplasto. Finalmente, se propone al genoma mitocondrial como una importante fuente de variación que debería incluirse en futuros estudios que busquen elucidar cuestiones evolutivas en grupos de plantas terrestres.

ABSTRACT

The mitochondrial genomes of land plants are known for some particular features like their large size and the high number of structural rearrangements. Despite being poorly studied, the mitochondrial genomes of land plants already characterized and publicly available show a high diversity in size, structure, repeated sequences and sequences of chloroplast and nuclear origin as well as sequences horizontally transferred from other species. The family Cactaceae (Caryophyllales) does not have any species with their mitochondrial genome characterized, therefore, in this study, we assembled, annotated, and characterized the mitochondrial genome of the globose cactus *Mammillaria huitzilopochtli*, which has a length of 2,050,004 bp and a GC content of 42.9%. The genome characterization identified 34 protein coding genes, 28 tRNAs and three typical rRNAs. Five of the 65 genes annotated are copies of genes already present in the chloroplast. The comparison with other land plants and species of the Caryophyllales order revealed that the mitochondrial genome here characterized is one of the largest genomes of the order. The phylogenetic analysis showed concordant relationships among species of Caryophyllales when compared to other phylogenetic trees reconstructed with chloroplast loci. Finally, we propose the mitochondrial genome of land plants as an important source of variation that should be included in further studies involving evolutionary questions of land plant groups.

INTRODUCCIÓN GENERAL

Genoma mitocondrial: evolución, composición genética y variación estructural

Las plantas terrestres contienen en sus células tres fuentes distintas de información genómica: los cloroplastos (ADNcp), la mitocondria (ADNmt) y el núcleo (ADNn). Estos tres genomas difieren en su origen, funciones, longitud, composición genética y en su estructura o modo de organización (Saxena *et al.*, 2014). El ADNcp en las plantas terrestres es un genoma haploide con una longitud que va de 107 a 218 kpb, con un promedio de 120 genes que se encargan principalmente de la fotosíntesis (Röschenbleck *et al.*, 2016; Solórzano *et al.*, 2019). Por su parte, el ADNmt en plantas también es un genoma haploide pero tiene una gran variación en su tamaño, de 66 kpb (*Viscum scurruloideum*, (Skippington *et al.*, 2015) a 11.7 Mpb (*Larix sibirica* (Putintseva *et al.*, 2020), con un promedio de 60 genes que participan en los procesos de fosforilación oxidativa y transporte de electrones para la producción energética de la célula (Burger *et al.*, 2003; Dong *et al.*, 2020). Con respecto a su estructura, el genoma mitocondrial puede encontrar organizado en una sola molécula circular o en varias unidades llamadas cromosomas (Wu *et al.*, 2015). Finalmente, el ADNn puede ser diploide o poliploide, por lo tanto, la longitud de estos genomas es la más variable, desde 63 Mpb en la carnívora *Genlisea aurea* (Leushkin *et al.*, 2013), hasta 150 Gpb en *Paris japónica*, el más grande reportado hasta la fecha (Pellicer *et al.*, 2010).

El origen de la mitocondria está asociado a la aparición de las primeras células eucariotas. La hipótesis endosimbiótica de la mitocondria se sustenta con información filogenética y paleontológica, ésta, plantea que el origen de este orgánulo se remonta a ~2,000 millones de años, por medio de la fagocitación de una α -proteobacteria por parte de un arqueón (Knoop *et al.*, 2011; Mower *et al.*, 2012). Desde su origen y a lo largo de su historia evolutiva en las células eucariontes, sólo quedan remanentes del endosimbionte, con un genoma reducido que se mantiene en lo que hoy conocemos como mitocondria, en donde miles de genes no esenciales fueron perdidos y muchos otros fueron transferidos al genoma del hospedero (ADNn) (Lang *et al.*, 1999).

A diferencia de su contraparte en animales, el ADNmt de plantas terrestres es más extenso y complejo. Más allá de la diferencia en la variación de su longitud, el arreglo estructural suele ser muy diferente, ya que presenta un alto contenido de regiones repetidas sujetas a recombinación homóloga, así como una gran cantidad de espaciadores intergénicos no codificantes y regiones de ADN adquirido del núcleo, cloroplasto o lateralmente de otras especies (Ward *et al.*, 1981; Roger *et al.*, 2017). Sin embargo, las tasas

de mutación en las regiones codificantes son muy bajas, lo que implica que son altamente conservadas, explicado con ello, el importante papel fisiológico que cumple la mitocondria en la célula, en donde participa en roles relacionados con la respiración celular (Palmer *et al.*, 2000), el metabolismo (Araújo *et al.*, 2014), la muerte celular programada (Van Aken y Van Breusegem, 2015) y en la esterilidad citoplásmica del macho en ciertas especies (Hu *et al.*, 2014; Li *et al.*, 2018).

La variación estructural del ADNmt de angiospermas es altamente complejo y heterogéneo tanto en su longitud como en sus arreglos estructurales, esta variación ha sido reportada incluso en especies pertenecientes a un mismo género, tal es el caso de *Silene latifolia* (Caryophyllaceae) con un genoma constituido por una sola molécula circular de 253 kpb (Sloan *et al.*, 2010), *Silene noctiflora* con 7.3 Mpb organizados en 65 cromosomas (Wu *et al.*, 2015) o *Silene conica*, con 11.3 Mpb y 128 cromosomas (Sloan *et al.*, 2012) es el genoma mitocondrial más grande reportado a la fecha para un especie de angiosperma.

El ADNmt de angiospermas cuenta con un grupo básico (*core*) de genes que incluyen una unidad de maturasa R (*matR*), seis subunidades de la ATP sintasa, nueve subunidades del complejo mitocondrial I de NADH deshidrogenasa, citocromo b, citocromo c y las 3 subunidades del citocromo oxidasa. También tiene 17 genes variables, entre los que se encuentran las subunidades ribosomales y las subunidades de succinato deshidrogenasa, cuyos genes han migrado al núcleo de manera independiente en varios grupos de plantas (Adams *et al.*, 2002; Adams y Palmer, 2003). La transferencia de genes de la mitocondria al cloroplasto podría ser de origen reciente debido a la homología de las regiones para muchas de las especies en las que se ha documentado, sin embargo, la mayoría de estas regiones son pseudogenes no codificantes (Bensasson *et al.*, 2001). Asimismo, la transferencia de genes del cloroplasto a la mitocondria parece ser un proceso que se remonta a eventos ancestrales en muchos grupos de plantas y que sigue ocurriendo, siendo los genes del ARNs de transferencia los que más comúnmente migran y que parecen cumplir un rol activo en la síntesis de proteínas en los ribosomas mitocondriales (Warren *et al.*, 2021). La transferencia intergénica de mitocondria al núcleo y viceversa también es común y aporta sustancialmente a la extensión del tamaño del ADNmt, por ejemplo, el ADNmt del melón (*Cucumis melo*, Cucurbitaceae) tiene una longitud de 2.7 Mpb, en donde cerca del 47% es de origen nuclear (Rodríguez-Moreno *et al.*, 2011). Los procesos de migración intergénica no están del todo claros, pero se ha propuesto que están mediados por factores genéticos asociados a la reparación cromosomal y a la acción de agentes mutagénicos sobre la membrana mitocondrial (Blanchard y Schmidt, 1995)

Respecto a la transferencia horizontal de genes, el caso mejor caracterizado es el del género *Amborella* (Amborellaceae, Amborellales), en el cual en algunas especies se han identificado genes adquiridos por transferencia horizontal provenientes de otros grupos taxonómicos distantes como los musgos. De los 31 genes codificantes con los que cuenta, al menos 20, han adquirido copias adicionales que cuentan con total funcionalidad (Bergthorsson *et al.*, 2004). Adicionalmente, eventos de transferencia horizontal de genes han sido documentados en especies de plantas parásitas de la familia Rafflesiaceae y sus hospederos de la familia Vitaceae (Rice *et al.*, 2013). Esta transferencia no se limita a especies de plantas, puesto que también se ha reportado que ocurre con otros grupos como virus (Goremykin *et al.*, 2008), bacterias (Alverson *et al.*, 2011) y hongos (Rice *et al.*, 2013). Esta transferencia puede ocurrir por varios mecanismos, el más reportado es la facilitada por contacto directo entre plantas parásitas y sus hospederos (Won y Renner, 2003). Además se han propuesto otros mecanismos de transferencia, tales como la polinización, herbivoría, patógenos o simbiosis (bacterias, hongos y virus) o la adquisición de ADN directamente del suelo (Bergthorsson *et al.*, 2004; Richardson y Palmer, 2007).

El ADN mitocondrial en Caryophyllales y Cactaceae

El orden Caryophyllales es uno de los más diversos en las angiospermas al incluir cerca de 9,000 especies en sus diferentes familias (Brockington *et al.*, 2009). En este orden podemos encontrar plantas suculentas adaptadas a ambientes áridos como las de la familia de los cactus (Cactaceae), hierbas y arbustos de la familia Caryophyllaceae e incluso especies de plantas insectívoras pertenecientes a Nepenthaceae. Los tiempos de divergencia estimado de 71 millones de años (Brockington *et al.*, 2009), lo que sitúa al orden como uno de los linajes con mayor diversificación en angiospermas (Mering *et al.*, 2019).

La falta de genomas mitocondriales caracterizados para especies de este orden, ilustra lo poco que se ha estudiado al genoma mitocondrial, el cuál es regularmente descartado en estudios dedicados a responder cuestiones evolutivas en plantas (Rydin *et al.*, 2017). En el orden Caryophyllales, de acuerdo con la base de datos de GenBank (NCBI, 6 de junio, 2022), sólo se ha caracterizado el genoma mitocondrial para 22 especies, de ellas, 5 tienen su ADNmt seccionado en cromosomas, como *Fallopia multiflora* (Polygonaceae) con 2 cromosomas (Kim y Kim, 2018) y el ADNmt gigante de *Silene conica* (Caryophyllaceae), con 128 cromosomas (Sloan *et al.*, 2012). Esta gran variación nos permite entender la complejidad del genoma mitocondrial y la potencial razón de la falta de estudios existente

(Kozik *et al.*, 2019). Esta situación empeora cuando vemos el panorama para todas las angiospermas, para las cuales sólo se han caracterizado ~800 ADNmt para un total de 350,000 especies que se estiman para este grupo de plantas (Joppa *et al.*, 2011). La poca información disponible y el escaso conocimiento del ADNmt en plantas, aún no permite establecer las implicaciones de la variación estructural y el contenido de genes en la historia evolutiva de estos organismos, ni conocer en detalle los procesos evolutivos a los que ha estado sometido el genoma de este orgánulo (Xiong *et al.*, 2008; Xi *et al.*, 2013).

Dentro de las Caryophyllales, no encontramos ningún genoma mitocondrial descrito para la familia Cactaceae, icónico grupo de plantas, con ~1,500 especies descritas que se caracterizan por sus adaptaciones a ambientes áridos y semiáridos del continente americano (Hunt, 2006), y solo una especie distribuida fuera del continente americano, en África (*Rhipsalis baccifera*) (Cota-Sánchez y Bomfim-Patricio, 2010). De acuerdo con análisis filogenéticos moleculares calibrados, se estima que el origen de la familia Cactaceae se originó hace 32 millones de años, similar a otras familias del orden con adaptaciones a la aridez (Arakaki *et al.*, 2011; Hernández-Hernández *et al.*, 2014). Esta estimación sugiere que los procesos evolutivos en Cactaceae, entre los que destaca la especiación por radiación adaptativa, han ocurrido en lapsos relativamente cortos en la familia (Arakaki *et al.*, 2011; Hernández-Hernández *et al.*, 2014).

El género con mayor riqueza de especies en la familia Cactaceae es *Mammillaria*. Con ~150 especies (Hunt, 2006), el cuál apareció aproximadamente hace solo 7.3 millones de años (Hernández-Hernández *et al.*, 2014). Una alta proporción de sus especies se distribuyen en México y previamente se ha propuesto a la región centro-norte del país como su centro de diversificación evolutiva (Hernández-Hernández *et al.*, 2014). Las relaciones filogenéticas de *Mammillaria* han resultado ser difíciles de elucidar y no han permitido resolver conflictos taxonómicos con otros géneros de cactus: *Coryphantha*, *Escobaria*, *Neolloydia*, *Ortegocactus* y *Pelecyphora*. Al igual que en todos los grupos de plantas, las relaciones filogenéticas del género se han reconstruido principalmente usando una cantidad pequeña de marcadores moleculares de cloroplasto, tal es el caso de lo reportado por Crozier (2005), quien usando 10 regiones de cloroplasto concluyó que sólo el subgénero *Mammillaria*, propuesto por Hunt (2006), se recupera como un grupo monofilético. Por su parte, Butterworth y Wallace (2004) no lograron separar a *Mammillaria* de otros géneros cercanos usando el intrón *rpl16* y el espaciador intergénico *psbA-trnH*. Resultados similares se han obtenido en otros estudios usando pocos marcadores moleculares que no llegan a ser

suficientemente informativos (Hernández-Hernández *et al.*, 2011; Bárcenas *et al.*, 2011; López-Ortiz, 2017).

En angiospermas, se han propuesto loci de cloroplasto como marcadores moleculares de alta variación (*trnK-matK*, *psbA-trnH*, *trnL-trnF*), sin embargo, no han resultado ser útiles para resolver filogenias en Cactaceae (Nyffeler, 2002). Actualmente, los avances tecnológicos en los métodos de secuenciación han permitido un acercamiento genómico al problema. Así, recientemente Chincoya y colaboradores (2020) compararon genomas completos de cloroplasto y lograron identificar 20 loci ortólogos como fuentes potenciales de alta variación molecular en el género *Mammillaria*. Además, la genómica comparada ha permitido la caracterización del genoma de cloroplasto en el género. Se encontró que en siete especies se identificaron tres estructuras distintas en su ADNcp que difieren en longitud y en composición de sus inversos repetidos, entre otros rearrreglos genómicos (Solórzano *et al.*, 2019). En contraste, para los cactus columnares *Carnegia gigantea* (Sanderson *et al.*, 2015) y *Lophocereus schottii* (GenBank, KY886917) se reportó la ausencia de inversos repetidos. Estos resultados, implican la existencia de una alta variación estructural del ADNcp en Cactaceae.

En este trabajo, tenemos como objetivo ensamblar, caracterizar y comparar con otras plantas terrestres el genoma mitocondrial de *Mammillaria huitzilopochtli*. Esta caracterización es la primera que se realiza en la familia Cactaceae y nos permite explorar la utilidad potencial del ADNmt para aportar información sobre la historia evolutiva del género y la familia. Para la especie, se conoce la estructura de su genoma de cloroplasto (Solórzano *et al.*, 2019), la cual mantiene una estructura cuatripartita de 115,886 pb, con una región larga de copia única (71,997 pb), así como una región corta de copia única (29,401 pb) y los inversos repetidos (14,488 pb cada uno) con un total de 120 genes, el genoma de cloroplasto de *M. huitzilopochtli* mantiene sintenia con el de *M. crucígera*, *M. solisioides* y *M. supertexta*. El genoma nuclear de *M. huitzilopochtli* es diploide y está estructurado en 11 pares de cromosomas. Por su parte, el contenido nuclear 2C que fue estimado por citometría de flujo es de 3.121 picogramos o 1C de 1.529 Mbp (del Ángel-Piña, 2005).

A partir de la información disponible para otros géneros de plantas, se espera que la mitocondria presente altos niveles de variación estructural respecto a otras especies de Caryophyllales y que la variación molecular sea suficiente para reconstruir las relaciones filogenéticas de las especies evaluadas.

1 TITLE PAGE

2 Title: Structural and gene composition variation of the complete mitochondrial genome
3 of *Mammillaria huitzilopochtli* (Cactaceae, Caryophyllales), revealed by *de novo*
4 assembly

5
6 Authors names: David Cruz Plancarte^{1,2}, Sofía Solórzano^{1*}

7
8 Affiliations: ^{1*}Laboratorio de Ecología Molecular y Evolución, Unidad de Biotecnología y Prototipos
9 FES Iztacala, Universidad Nacional Autónoma de México, Avenida de los Barrios 1, Los Reyes
10 Iztacala, Tlalnepantla de Baz 54090, Mexico

11 ²Posgrado en Ciencias Biológicas, UNAM, Circuito de Posgrados, Ciudad Universitaria, Coyoacán,
12 Ciudad de México 04510, Mexico.

13
14 *Corresponding author E-mail: solorzanols@unam.mx

ABSTRACT

16

17 **Background:** Structural descriptions of complete genomes have elucidated evolutionary processes in
18 angiosperms. In Cactaceae (Caryophyllales) a high structural diversity of chloroplast genome has been
19 identified among and within genera. In this study we assembled the first mitochondrial genome
20 (mtDNA) for the short-globose cactus *Mammillaria huitzilopochtli*. For comparative issues we used the
21 published genomes of 19 distinct angiosperms; and the gymnosperm *Cycas taitungensis* was the
22 external group for phylogenetic issues.

23 **Results:** The mtDNA of *M. huitzilopochtli* was assembled in one linear chromosome of 2,052,004 bp,
24 in which 65 genes were annotated. These genes add 57,606 bp and include 34 protein coding genes, 27
25 tRNAs and three rRNAs. In the non-coding sequences the repeats were abundant with a total number of
26 4,550 (179,215 bp). In addition, five complete genes (*psaC* and four tRNAs) of chloroplast origin were
27 documented. For most of the protein coding genes was estimated a negative selection. The
28 phylogenetic tree showed concordant topology with previous analysis based on chloroplast genome.

29 **Conclusions:** The type and number of genes contained in mtDNA of *M. huitzilopochtli* was similar to
30 those reported for other 19 angiosperms irrespective of their phylogenetic relationships. Although other
31 Caryophyllids exhibit strong differences in structural arrangement and in total size of mtDNA, these do
32 not increase the typical number and types of genes to those identified for *M. huitzilopochtli*. We
33 concluded that mtDNA in angiosperms increases its size by non-coding sequences, and not by a
34 significant gain of coding genes.

35 **Keywords:** Cactaceae, *Mammillaria huitzilopochtli*; mitochondrial genome; Caryophyllids.

36

37 **Background**

38 In plants, mitochondria are essential organelles to provide cell energy through respiration [1, 2], be-
39 sides other important roles in metabolism [3], such as, stress tolerance [4], programmed cell death [5],
40 and in ~150 species, particularly in major crop species, such as, *Beta vulgaris*, *Capsicum annuum*,
41 *Daucus carota* and *Zea mays*; were identified mitochondrial mutations that are associated to male ste-
42 rility [6].

43 Recently, we searched in the NCBI site (April 20, 2022) complete organelle genomes for angio-
44 sperm taxa; and ~450 of mitochondria (mtDNA) and ~8000 of chloroplast (cpDNA) were documented.
45 This unequal number of sequenced genomes has impacted on the relatively poor biological and evolu-
46 tionary knowledge that exist for plant mtDNA. The genomic comparisons between mtDNA and
47 cpDNA, indicate that the former shows larger size and stronger structural complexity than the latter [7].
48 Accordingly, it has been identified that mtDNA is organized either in a single or in various molecules,
49 which are named as chromosomes, and these can be organized in linear or circular forms [8]. Currently,
50 the factors and processes that drive the structural organization of plant mtDNA have not been entirely
51 elucidated. The available data suggest that in flowering plants the number and length of mitochondrial
52 chromosomes is not necessarily determined only by the total size of mtDNA. For example, the shortest
53 mitochondrial genome (66 kbp) was documented in the parasitic mistletoe *Viscum scurruloideum* (San-
54 talaceae), and it is organized in two chromosomes [9]. In contrast, larger mtDNAs that vary of 154 kbp
55 (*Zelkova schneideriana*, Ulmaceae, MW717907) to 2 Mbp (*Corchorus capsularis*, Malvaceae,
56 KT894204) are organized in a single chromosome. In addition, currently the largest mtDNA (11.3
57 Mbp) was documented in *Silene conica* (Caryophyllaceae), which exhibits a complex organization in
58 the huge number of 128 circular chromosomes [10].

59 In spite of this strong variation in size and structural organization, the mtDNA of angiosperms con-
60 tains a relatively low number of genes that varies of 28 in *Viscum scurruloideum* (Santalaceae) [9] to

61 69 in *Sesuvium portulacastrum* (Aizoaceae) [11]. In mtDNA of plants, the typical functional genes con-
62 tained are of the three main types: protein-coding genes, tRNAs and rRNAs. As occurs in other ge-
63 nomes, these genes are separated among them by noncoding DNA sequences named as intergenic
64 spacers [12]. It has been proposed that the relatively low number of genes contained in mtDNA was
65 caused by a large-scale gene migration from mitochondria to nuclear genome occurred along the evolu-
66 tionary history of plants [13]. In fact, most of the ~2,000 functional mitochondrial proteins currently
67 identified, are encoded in the nuclear genome; and only ~1% of them are encoded in DNA sequences
68 of mtDNA [1, 14]. In addition, gene transference between cytoplasmic genomes is also common; such
69 gene migration may include complete genes or fragments of non-coding sequences. Thus, this dynamic
70 intergenomic gene transfer was documented in many land plant taxa [15]. For example, the mtDNA of
71 the cantaloupe *Cucumis melo* (Cucurbitaceae) has a total size of 2.7 Mbp, and nearly 46.77% and
72 1.41% were identified from nuclear and plastidic origin, respectively [16]. Consequently, the interge-
73 nomic gene transfer increases may promote the total size of mtDNA [15, 17]. In addition, in the
74 mtDNA of angiosperms also has been documented horizontal gene transfer among diverse taxonomic
75 groups, such as, virus [18], bacteria [19], fungi [20]; as well as, in higher vascular plants [21, 22]. In
76 addition, mtDNA contains abundant repeated DNA sequences (repeats) that are located predominantly
77 at the non-coding sequences properly recognized as intergenic spacers. These abundant repeats also
78 cause considerable increments in the total size of mtDNA [23]. Moreover, it has been suggested that
79 these repeats may be involved in the homologous recombination and regulation of the complete replica-
80 tion of mtDNA [7].

81 Currently, the mutation process and its underlying factors have not been evaluated in detail for
82 plants. However, preliminary comparisons of distinct mitochondrial coding genes showed lower muta-
83 tion rates than those recorded for plastidic (3X) and nuclear (16X) genomes [24, 25]. Thus, in coding
84 sequences of these mtDNA's the mutations are restricted, and consequently these low levels of molecu-

85 lar variation do not represent an adequate source for phylogenetic studies [26]. It is important to men-
86 tion that the abundant and large continuous sequences of noncoding regions (i.e., introns and intergenic
87 spacers) have not been explored as potential sources of molecular variation. Thus, the non-coding re-
88 gions of mtDNAs would be sources of molecular markers to resolve many types of biological issues.
89 Lastly, probably in the mtDNA of plants the evolutionary story was impressed, and it may help to elu-
90 cidate the enigmatic and the not fully resolved evolutionary history of angiosperms.

91 Presently, for angiosperms most of the phylogenetic studies have been carried out with plastidic
92 loci (e.g. [27], [28]), however, this genome did not effectively work in whole flowering groups; as is
93 the case of cacti species. The nearly 1,500 members of Cactaceae [29] are recognized as a monophylet-
94 ic group [30], however, their internal phylogenetic relationships have not been fully resolved (e.g. [31,
95 32]). In this study we sequenced and assembled de novo the mitochondrial genome for *Mammillaria*
96 *huitzilopochtli* D. R. Hunt. (Cactaceae, Caryophyllales). Recently, the whole cpDNA of this short-
97 globose cactus *M. huitzilopochtli* was described [33], and its relative plastidic molecular variation was
98 assessed in comparison to other *Mammillaria* species [34]. The objectives here studied were, 1) to de-
99 scribe the structural organization of the whole mitochondrial genome in this cactus, 2) to estimate the
100 mutation rates of coding regions among 21 species; 3) to compare our results to those mtDNA reported
101 for other 20 land plants, emphasizing Caryophyllids.

102 **Results**

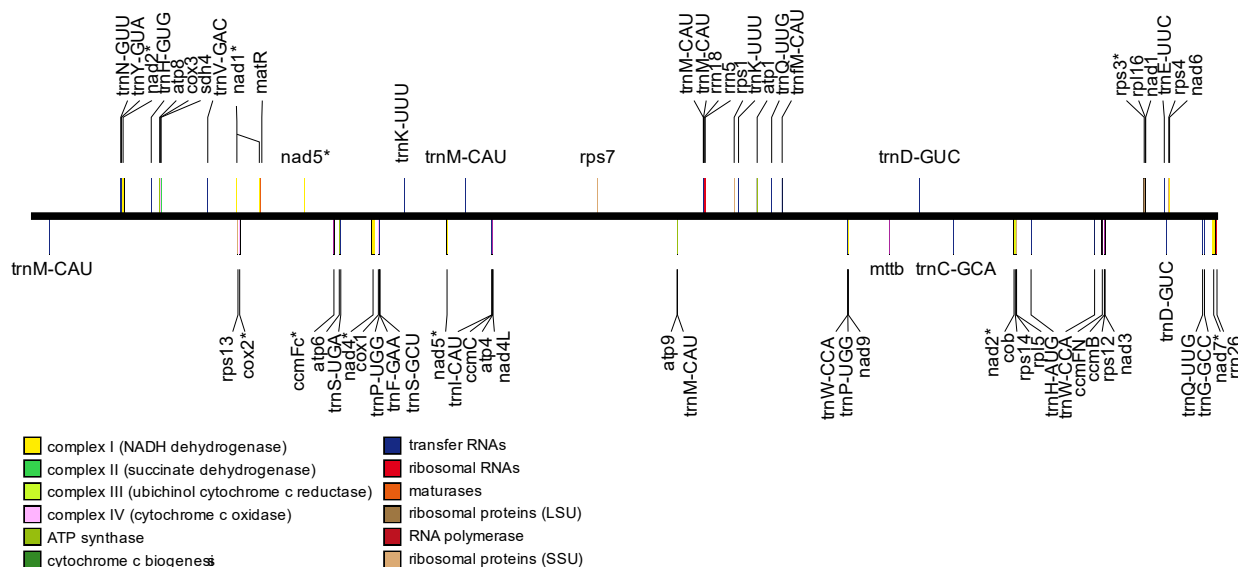
103 **Characterization of the mitochondrial genome of *Mammillaria huitzilopochtli***

104 The newly assembled mitochondrial genome of *M. huitzilopochtli* had 2.052 Mbp in total size, and it is
105 organized in a single linear molecule. This mtDNA had a higher proportion of A's (28.6%) and T's
106 (28.4%), followed by G's and C's (each one, 21.5%). This genome was composed of 12 different types
107 of genes, 10 of them corresponded to different types of protein coding genes (Fig. 1).

108

Mammillaria huitzilopochtli

2,052,004 bp



109

110 **Fig. 1** Gene composition and total size of the mitochondrial genome of *Mammillaria huitzilopochtli*. The color of the square
 111 and the label indicate the type of the protein-coding gene, excepting those indicated for tRNA and rRNAs.

112 In the mtDNA of *M. huitzilopochtli*, a total of 65 genes were annotated, six of them had of one to
 113 four additional copies (Table 1). Of these 65 genes, 34 (33 of mitochondrial origin and the gene *psaC*
 114 was of plastidic origin) corresponded to some protein coding genes (PCGs). These PCGs were of ten
 115 different families of genes, eight of them with introns included (Table 1). In addition, a total of 28 sub-
 116 units of tRNAs, four of them were of plastidic origin; and three subunits of rRNAs were documented
 117 (Fig. 1). These 65 genes represented only 2.8% (57,606 bp) of the DNA sequence of the total genome
 118 size, consequently, a 97.2% of DNA sequences corresponded to non-coding sequences of the types of
 119 intergenic spacers (Fig. 1).

120

Table 1 (included at the end of the document)

121

122 Of the total of 33 mitochondrial PCGs, 29 of them (87.8%) had the typical ATG start codon. In
 123 addition, four PCGs had other alternative codons: ACG (*nad1*), TTG (*rps4*), ATA (*mttb*) and GTG
 124 (*rpl16*). With respect to stop codons, TAA was recorded for 13 PCGs, and codon TGA was identified
 125 for other 13 different PCGs, and six genes had TAG as stop codons. The gene *atp9* had the alternative
 stop codon CGA. In addition, in eight of the 33 PCGs were identified of one to five introns (Table 1).

126 Of these, *nad7* had four introns; *nad2* had three, *nad4* and *nad5* had two; and for *ccmFc*, *cox2*, *nad1*
 127 and *rps3* one intron was identified (Table 1). These introns varied in length of 838 bp (*nad5*) to 2,350
 128 bp (*nad2*); three of these introns were trans-spliced (*nad1*, *nad2* and *nad5*), and five (*ccmFc*, *cox2*,
 129 *nad4*, *nad7* and *rps3*) were cis-spliced.

130 With respect to repeated sequences of microsatellite type, a total of 1,219 were recorded along the
 131 mtDNA of *M. huitzilopochtli*. These microsatellites were composed by one type of nucleotide (396
 132 repeats), dinucleotide (462), trinucleotide (59), tetranucleotide (170); and 109 microsatellites showed a
 133 composed motif (i.e., two types of repeated motifs separated by a non-microsatellite sequence). Lastly,
 134 only a total of 23 complex microsatellites were composed by five to six nucleotides, and these were
 135 distributed along the non-coding IGS (Table 2). Twenty of these microsatellites were composed by
 136 three repeats, and these microsatellites were abundant on the IGS of *trnD-GUC* – *cox2* (5 repeats); and
 137 *nad1* - *rps3* (4 repeats) (Table 2).

138 **Table 2** Distribution and location of the microsatellites composed by five to six nucleotides. The coordinates of start and
 139 end of the microsatellite sequences refer to the assembled mitochondrial genome of *Mammillaria huitzilopochtli*

Number	(Motif) number of repeats	Start	End	Location
1	(AAGAGT)3	34,066	34,084	<i>trnQ^{UUG}</i> - <i>trnD^{GUC}</i>
2	(TGAAA)3	246,455	246,470	<i>sdh4</i> - <i>trnV^{GAC}</i>
3	(CGAAGG)5	446,131	446,161	<i>matR</i> - <i>trnC^{GCA}</i>
4	(AAAGA)3	450,464	450,479	<i>matR</i> - <i>trnC^{GCA}</i>
5	(CCGGG)3	596,633	596,648	<i>mttb</i> - <i>nad9</i>
6	(AGTGA)3	978,493	978,508	<i>atp9</i> - <i>rps7</i>
7	(CTCGG)3	1,037,692	1,037,707	<i>rps7</i> - <i>rrn18</i>
8	(CCTTCG)3	1,047,066	1,047,084	<i>rps7</i> - <i>rrn18</i>
9	(TTCCT)3	1,200,521	1,200,536	<i>rrn5</i> - <i>rps1</i>
10	(TCTTG)3	1,431,830	1,431,845	<i>nad5</i> - <i>trn^{GCU}</i>
11	(ATATAT)4	1,477,325	1,477,349	<i>nad4</i> - <i>trnS^{UGA}</i>
12	(GCCTA)3	1,604,532	1,604,547	<i>trnD^{GUC}</i> - <i>cox2</i>
13	(AAGGCG)3	1,645,312	1,645,330	<i>trnD^{GUC}</i> - <i>cox2</i>
14	(TTTTTC)3	1,649,583	1,649,598	<i>trnD^{GUC}</i> - <i>cox2</i>
15	(GCCCA)3	1,671,137	1,671,152	<i>trnD^{GUC}</i> - <i>cox2</i>
16	(ACTTTC)3	1,678,787	1,678,805	<i>trnD^{GUC}</i> - <i>cox2</i>
17	(CTTTT)3	1,787,375	1,787,390	<i>nad1</i> - <i>rps3</i>
18	(GAGAG)3	1,801,389	1,801,404	<i>nad1</i> - <i>rps3</i>

19	(AAAAG)3	1,805,130	1,805,145	<i>nad1 - rps3</i>
20	(CAACT)3	1,847,144	1,847,159	<i>nad1 - rps3</i>
21	(CTAAA)3	1,963,196	1,963,211	<i>trnE^{UUC} - rps4</i>
22	(TTTCA)3	1,997,401	1,997,416	<i>rps4-3'</i>
23	(TAGAA)4	2,007,522	2,007,542	<i>rps4-3'</i>

140

141

142

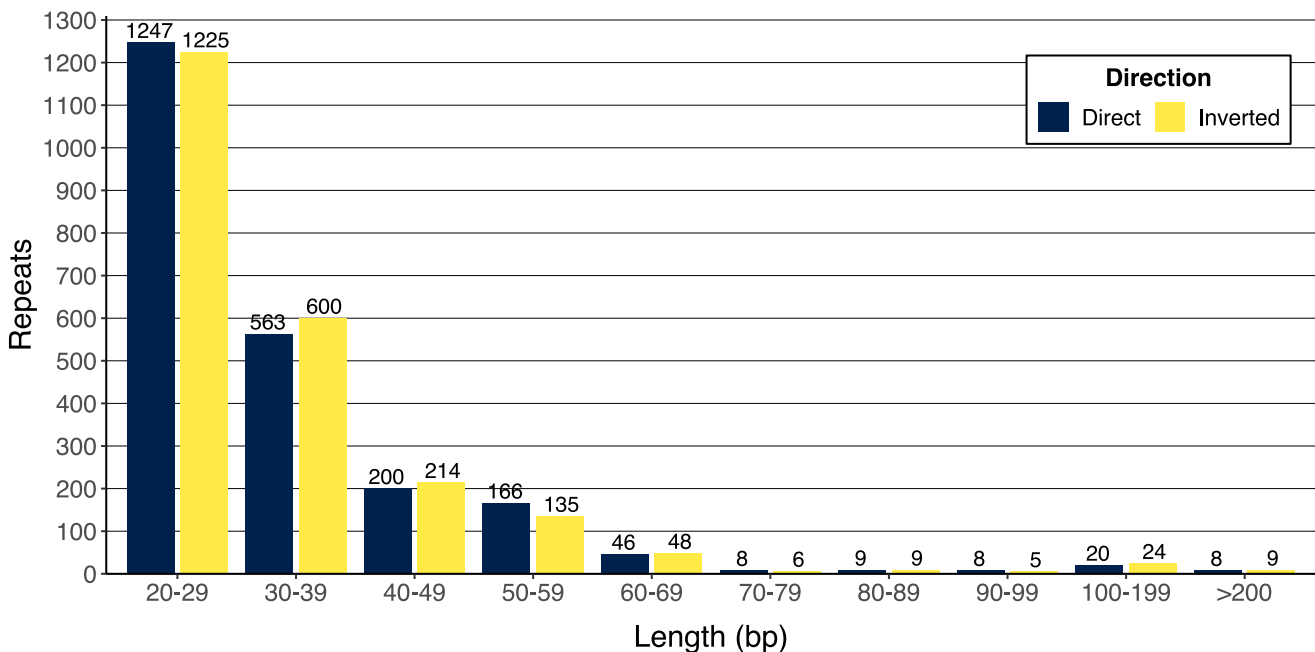
143

144

145

146

On the other hand, in the mtDNA of *M. huitzilopochtli* were abundant direct and inverted repeated DNA sequences, which were distributed along the whole genome (Fig. 2). In total 4,550 of these repeats were documented, which represent 8.73% (179,215 bp) of the total length of the genome. The most abundant repeats were those shortest: 20-39 bp (2,470 repeats); followed by those of 30-59 bp (1,878), 60-199 bp (183), 100-199 bp (44); and lastly only 17 repeats >200 bp were identified (Fig. 2). We did not observe strong differences in the number of repeats between direct and inverted direction.



147

148

149

Fig. 2 Length and direction of repeated DNA sequences documented in the mitochondrial genome of *Mammillaria huitzilopochtli*.

150

151

152

153

In mtDNA of *M. huitzilopochtli*, a total of 34 DNA sequences of plastidic origin that added 10,184 bp (Table 3) were identified. These sequences were complete and fragmented coding genes, as well as, fragments of noncoding sequences located in the IGS of the chloroplast genome. The complete copies of genes were the coding gene *psaC* (including its start-stop codons), and three tRNAs, these were

154 *trnD-GUC* (this had two copies), and a copy of *trnN-GUU* and *trnI-CAU*. The other 31 sequences of
 155 plastid origin were fragments of genes and IGS reported previously in the chloroplast genome (Table
 156 3).

157 **Table 3** Genes, intergenic spacers (IGS) and introns of plastid origin recorded in the mitochondrial DNA of *Mammillaria*
 158 *huitzilopochtli*. The length, percentage of identity and coordinates obtained by comparison between genomes of mitochon-
 159 dria (this study), and chloroplast (MN517612). The percentage of identity, the number of mismatches and of gap opens
 160 between these two genomes

	Length (pb)	Identity (%)	Mismatches	Gap opens	Mitochondrial		Chloroplast		Gene/IGS/intron
					start	end	start	end	
1	976	100	0	0	1257330	1258305	92928	93903	<i>rps7</i> - Ψ <i>ndhb</i>
2	890	99.44	5	0	845158	846047	69624	70513	<i>ycf2</i>
3	848	87.38	76	11	1916667	1917495	30751	31586	<i>psaA</i>
4	742	90.43	71	8	1921118	1921854	10763	11501	<i>psbC</i>
5	731	99.32	5	0	305474	306204	90124	90854	<i>rrn16</i>
6	581	100	0	0	1567367	1567947	106298	106878	<i>atpA</i> - <i>atpF</i>
7	457	100	0	0	2,029455	2029911	3724	4180	<i>rpoB</i>
8	441	100	0	0	1326125	1326565	22939	23379	<i>rbcL</i>
9	421	99.29	0	0	285799	286219	46334	46754	<i>psbB</i>
10	408	91.67	34	3	1105343	1105750	65971	66375	<i>ycf2</i>
11	373	100	0	0	3	375	107146	107518	<i>atpF</i> (intron)
12	368	100	0	0	1738587	1738954	61284	61651	<i>matK</i>
13	301	98.01	6	0	97235	97535	92606	92906	<i>rps7</i>
14	264	98.86	2	1	696708	696972	78457	78719	<i>psaC</i> *
15	257	100	0	0	1417528	1417784	88364	88620	Ψ <i>ycf68</i>
16	226	96.02	8	1	839999	840224	94333	94557	Ψ <i>ndh</i> - Ψ <i>ycf2</i>
17	168	81.55	22	9	1105085	1105252	65812	65970	<i>ycf2</i>
18	164	98.17	3	0	756462	756625	9625	9788	<i>psbD</i> Ψ <i>trnI</i> ^{GAU} -
19	160	100	0	0	306775	306934	88800	88959	<i>rrn16</i> Ψ <i>trnA</i> -
20	153	100	0	0	110668	110820	88023	88175	Ψ <i>ycf68</i>
21	140	95	7	0	1231238	1231377	78948	79087	<i>ndhD</i>
22	123	91.06	9	2	1920978	1921099	5950	6071	<i>trn</i> ^{GCA} - <i>petN</i>
23	122	100	0	0	1929365	1929486	85922	86043	<i>rrn23</i>
24	110	84.55	17	1	1388921	1389021	46485	46594	<i>psbB</i>
25	100	94	6	0	1078249	1078348	10121	10220	<i>psbD</i>
26	83	96.39	2	1	1963453	1963536	8627	8708	<i>trnD</i> ^{GUC} *
27	82	98.78	1	0	1535734	1535816	8627	8708	<i>trnD</i> ^{GUC} *
28	81	100	0	0	1211781	1211861	65021	65101	<i>ycf2</i>
29	81	93.83	5	0	264614	264694	105467	105547	<i>atpA</i>
30	78	94.87	4	0	143568	143645	4218	4295	<i>rpoB</i>

31	77	100	0	0	796513	796589	94862	94938	<i>trnI^{CAU}*</i>
32	77	96.1	3	0	155219	155295	83026	83102	<i>trnN^{GUU}*</i>
33	53	100	0	0	1921853	1921905	85887	85939	<i>rrn23</i>
34	48	93.75	3	0	490750	490797	65638	65685	<i>ycf2</i>

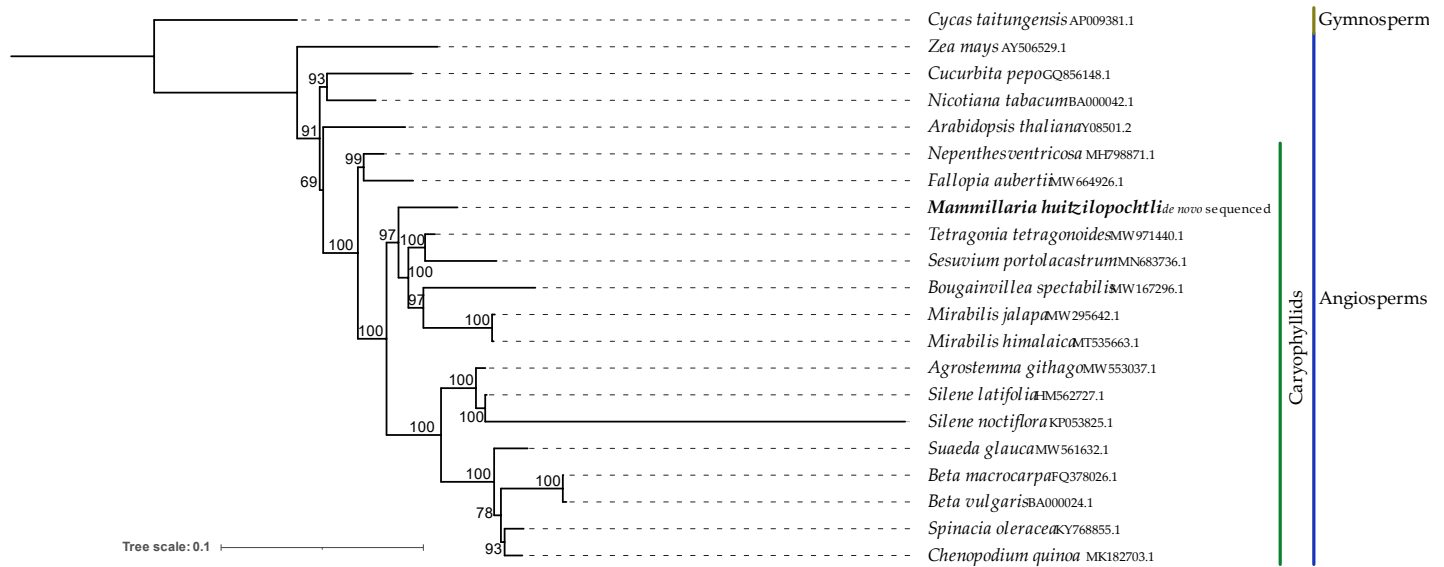
161 *Complete genes identified in the mitochondrial genome, Ψ indicates a pseudogene that was reported as such in chloroplast
 162 genome

163

164 **Comparison of mitochondrial DNA of *Mammillaria huitzilopochtli* to other land plants.**

165 The phylogenetic tree grouped the 16 Caryophyllids in a single monophyletic ingroup (Fig. 3) support-
 166 ed with 100% of bootstrap.

167



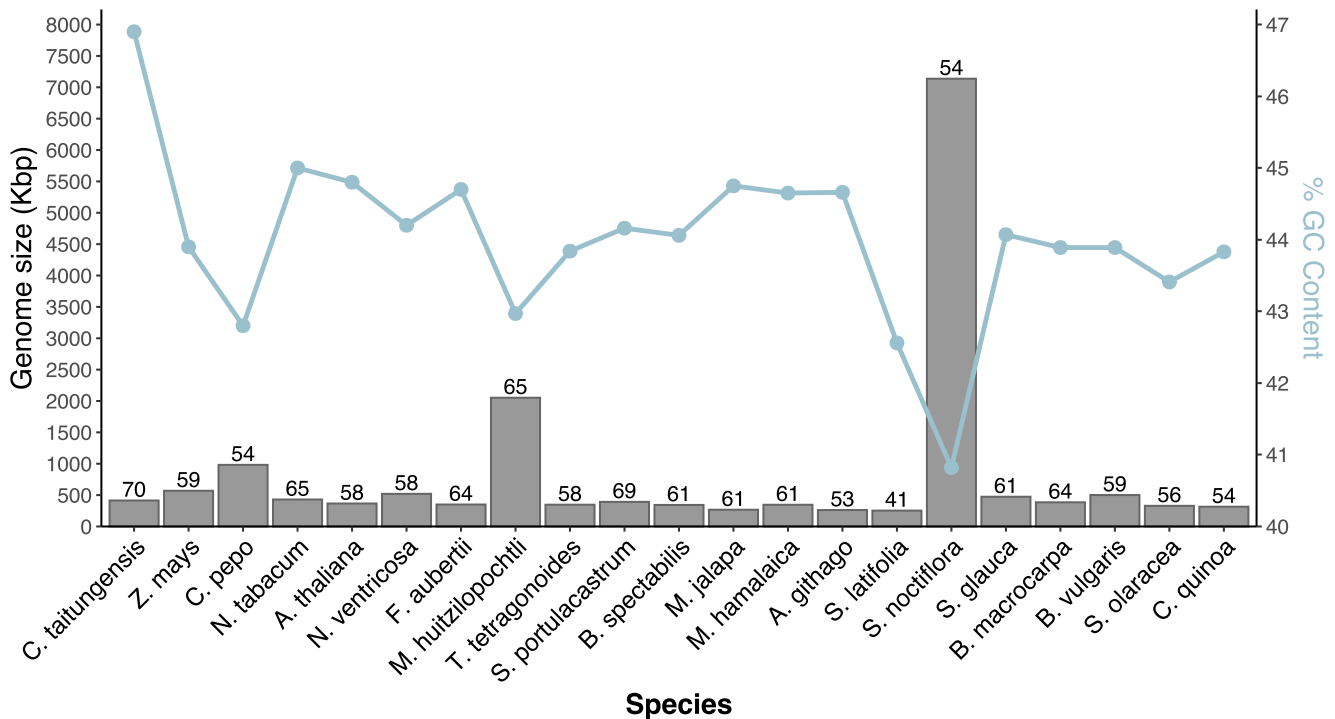
168

169 **Fig. 3** Maximum Likelihood phylogenetic tree based on 29 orthologous loci. The numbers correspond to the bootstrap per-
 170 centages

171 The mitochondrial genome of *M. huitzilopochtli* had a GC content of 42.97%, which is similar to
 172 that of other 15 Caryophyllid species (Fig. 4). The 16 Caryophyllids had on average 43.77 ± 0.99 SD of
 173 GC content. In the 21 plant studied species, GC content was negatively correlated to the total length of
 174 mitochondrial genome ($r = -0.68$, $p = 0.00073$), however, this correlation was not significant, when the
 175 atypical largest value of *S. noctiflora* was excluded. The lowest GC content was documented in the two
 176 species of Caryophyllaceae: *S. latifolia* (42.56%) and *S. noctiflora* (40.82%), which had a genome of
 177 235 kbp and 7.1 Mbp, respectively. In the 21 studied species, the mtDNA of *M. huitzilopochtli*

178 (2,052,004 bp) was the second largest genome (Fig. 4), behind *Silene noctiflora*. Lastly, the average
 179 number of genes in the 21 species was $59 \pm 6.34SD$. The total number of genes contained in the mtDNA
 180 of these analyzed species was not correlated to the total length of the mtDNA ($N=21$, $r=-0.14$, $p=0.56$).
 181 In fact, the lowest number of genes was documented in the Caryophyllid *S. latifolia* (41 genes); and the
 182 highest number in the gymnosperm *C. taitungensis* (70).

183



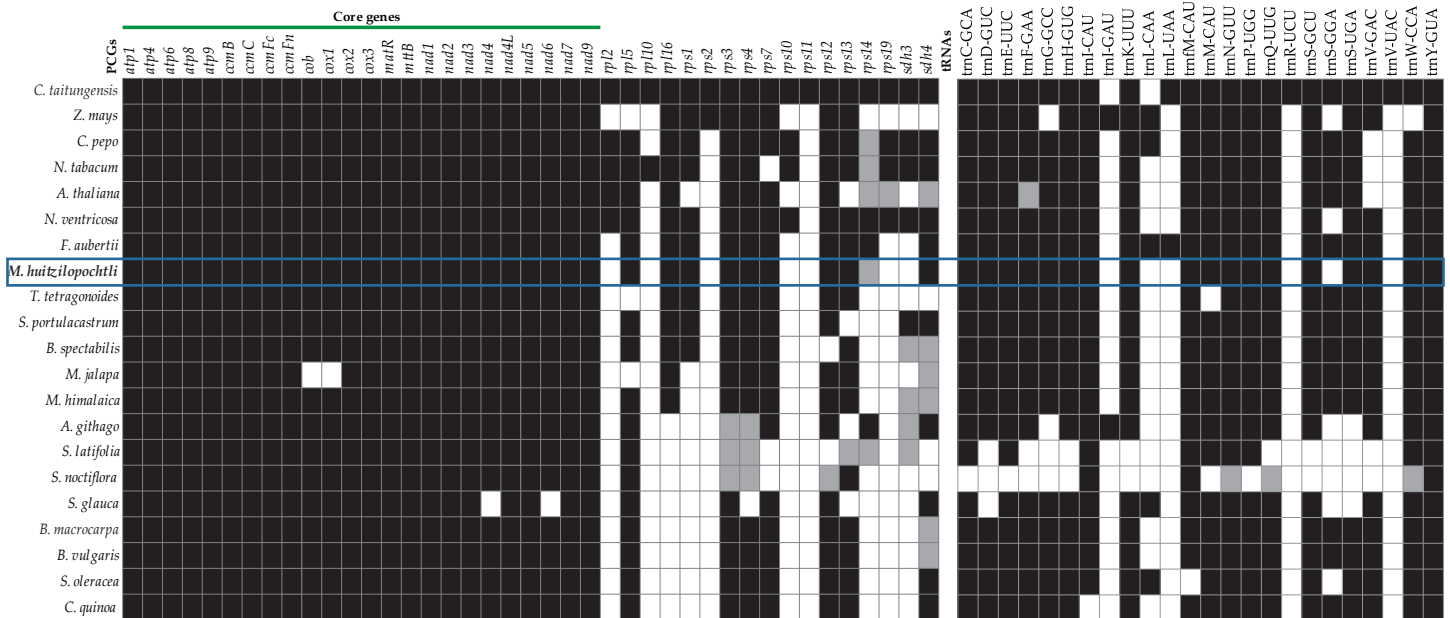
184

185 **Fig. 4** Comparison of the genome size (bars) and GC content (line) of *Mammillaria huitzilopochtli* to other 20 land plants.
 186 The number above the bar indicates the total number of genes of each genome

187 With respect to the identity of the genes that composed the mitochondrial genomes, we document-
 188 ed that the 21 species had the three typical ribosomal units (*rrn5*, *rrn18* and *rrn26*) reported to land
 189 plants. In contrast, the number and identity of PCGs showed variation among the 21 species. The gym-
 190 nosperm contained the largest number of PCGs (41 genes), however, most of the 20 angiosperms had a
 191 complete set of 24 PCGs, which are those recognized as core genes for angiosperms; however, some
 192 PCGs lacked (white squares, Fig. 5); or these were incomplete sequences (pseudogenes; grey squares
 193 Fig. 5). In the angiosperms *M. jalapa* lacked the genes *cob* and *cox1*; and in *S. glauca*, were not identi-

194 fied the genes *nad4* and *nda6*. In contrast, more variation was documented in the 17 genes named as
 195 variable PCGs (those non-core genes). Particularly, we documented complete lacks and pseudogeniza-
 196 tion in the subunits of ribosomal proteins (*rps*) and of succinate dehydrogenase (*sdh*). The cactus *M.*
 197 *huitzilopochtli* lacks eight of these genes; and a total of 24 pseudogenes were documented among 12
 198 different species. With respect to tRNAs the most frequent lacks were documented in *trnL-UAA* (20
 199 species), *trnR-UCU* (20), *trnV-UAC* (20), *trnI-GAU* (19) and *trnL-CAA* (17) (Fig. 5). Pseudogenization
 200 in tRNAs was documented in four tRNAs but only in two species (*A. thaliana* and *S. noctiflora*). The
 201 species *S. noctiflora* and *S. latifolia*, had the higher number of pseudogenes, 6 and 5, respectively; and
 202 in the cactus *M. huitzilopochtli* had only one pseudogene (Ψ *rps14*; Fig. 5).

203



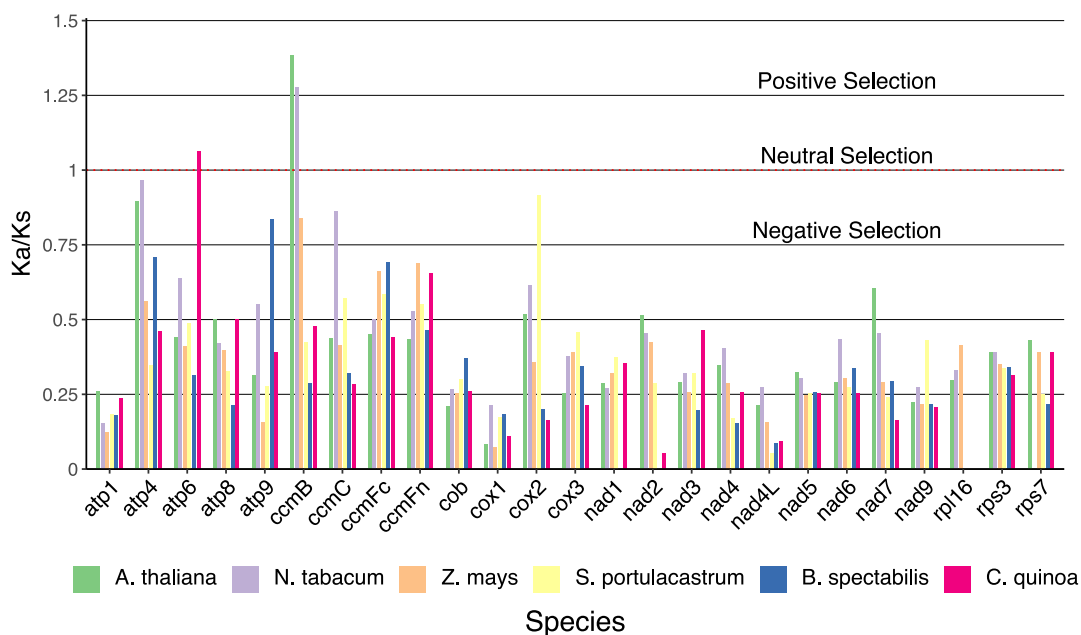
204

205 **Fig. 5** Comparison of gene content of protein coding genes and tRNAs of mitochondrial DNA of *Mammillaria huitzi-*
 206 *lopochtli* to other 20 land plant species. The color of the squares indicates if the gene was recorded (dark), absent (white),
 207 and grey (pseudogene)

208

209 The comparison of substitution rates in 25 genes between *M. huitzilopochtli* to other six angio-
 210 sperm species (Fig. 6), showed that 23 genes had values that indicated negative selection ($Ka/Ks < 1$,
 211 below red horizontal line, Fig. 6). Positive selection ($Ka/Ks > 1$) was estimated only in the comparison

212 of the gene *atp6* of *C. quinoa* and in *ccmB* of *A. thaliana* and *N. tabacum* (Fig. 6). Neutral selection
 213 was not identified.



214

215 **Fig. 6** The values of Ka/Ks of 25 protein coding genes compared between *Mammillaria huitzilopochtli* to six angiosperm
 216 species

217 Discussion

218 This study pioneered the analysis of complete mitochondrial genome on cacti species; and we consider
 219 these results will open new perspectives for phylogenetic analysis of these plants. However, the lack of
 220 data limited our comparisons to other land plants not phylogenetically related, however, the compari-
 221 sons focused in Caryophyllids (Amaranthaceae, Aizoaceae, Caryophyllaceae, Nepenthaceae, Nyctagi-
 222 naceae and Polygonaceae) showed similar gene content, although the strong differences in size and
 223 structural arrangement. Our findings showed that *M. huitzilopochtli* possess the third largest mitochon-
 224 drial genome (2.05 Mbp) followed to the Caryophyllids *S. conica* (11.3 Mbp) [10] and *S. noctiflora*
 225 (7.1 Mbp) [35]. Our comparisons among 21 species suggested that the total size of the genome does not
 226 determine: 1) the structural complexity (i.e., arrangement in more than one chromosome), 2) GC con-
 227 tent; and 3) total number of genes.

228 We identified that the variation in the total size of mtDNA of the 21 studied species, was caused by
229 the expansion and contraction of noncoding sequences, primarily by the length of IGS, and secondly of
230 introns. Consequently, in these land plants their total size of mtDNA expands/contracts by length of
231 noncoding sequences, not by gain coding sequences. In addition, we identified that the enlargement of
232 IGS was associated to the abundant repeated sequences of different nature, such as, microsatellites,
233 direct and inverted repeats. The abundant repeats in IGS of mtDNA of land plants is a common feature
234 [19, 36, 37], and some studies [16, 37] have suggested that IGS may receive DNA sequences from for-
235 eign genomes. Presently, the functional role of these repeats sequences in the mtDNA has not been
236 clearly elucidated, however, it has been postulated that these repeats may participate in the replication
237 of complete mtDNA [23], and in the repeat-mediated recombination [38, 39]. This last process has
238 been proposed to have an important role in the structural rearrangements of mtDNA [7, 39, 40].

239 Moreover, our results indicated that mitochondrial genome of land plants tends to maintain a gene
240 composition and gene number, irrespective of the total size, or the structural complexity in which a
241 certain genome is arranged. Particularly the four ribosomal units, and the set of 24 PCGs seem to have
242 a key role in the 21 studied species. It is probable that the identity and the number of genes contained in
243 a certain mtDNA are influenced by phylogenetic factors, and not by its structural features. Since, we
244 documented that the gymnosperm *C. taitungensis* had the highest number of different genes, which is
245 similar to the results published for other two conifers *Larix sibirica* (77 genes, [41]), and *Picea sitchen-*
246 *sis* (71, [42]). Our results showed that the 20 studied angiosperms had a lower total number of genes
247 than the gymnosperm *C. taitungensis*; and we identified that it was caused by the loss of various types
248 of PCGs and tRNAs. It seems that in angiosperms the evolutionary trend is a reduction in the total
249 number of genes with respect to gymnosperms, however, this should be verified when more data of
250 complete mitochondrial genomes are available for flowering plants. On the other hand, we concluded
251 that in *M. huitzilopochtli* the natural selection restricts mutations in the coding genes, since most of

252 these PCGs showed $Ka/Ks < 1$ (negative selection). Consequently, these sequences are highly conserved
253 as has been recognized for most angiosperm species (e.g., [2, 12]).

254 We documented migration of DNA sequences of plastidic origin to the mtDNA of the cactus *M.*
255 *huitzilopochtli*. This migration consisted in complete coding genes, and fragmented sequences of genes
256 and IGS. In fact, the migration of DNA sequences from chloroplast to mitochondria is a common pro-
257 cess that has been documented for other angiosperms in previous studies [19, 37, 43]. However, the
258 migration of complete coding genes from chloroplast to mtDNA is an unusual process reported in an-
259 giosperms [44], as well as, in gymnosperms [45]. In this study, we documented for *M. huitzilopochtli*
260 the presence of the complete coding gene *psaC* in the mtDNA, which was previously reported in the
261 plastid genome of this species [33]. Presently, it has not been identified if these copies of plastidic
262 origin have a functional role in the mtDNA [17, 44]. In addition, the migration of tRNAs from chloro-
263 plasts to mitochondria is common in land plants [43]. In this study, four tRNAs were documented in
264 the *M. huitzilopochtli*, which were previously reported in the chloroplast genome of this cactus [33].
265 The functional role of these tRNAs in mtDNA was assigned to the synthesis of proteins in the mtDNA
266 [43]. On the other hand, in plants the migration from nuclear genome to mtDNA has not been studied
267 in detail, however, it may occur. Since, in the whole sequenced genome of the cantaloupe, *Cucumis*
268 *melo* (Cucurbitaceae) was reported that nearly 46.47% of its mtDNA was of nuclear origin [16]. In our
269 study we did not evaluate sequences of nuclear origin because currently it has not been published a
270 complete nuclear genome for *M. huitzilopochtli*.

271 We have to mention, that although the primary purpose of this study was not to obtain the phylo-
272 genetic relationships of *M. huitzilopochtli* to other Caryophyllids, due to few available data of complete
273 mtDNA; the phylogenetic tree obtained recovered a concordant topology to that obtained in previous
274 studies based on plastidic loci [46]. Accordingly, the seven families of Caryophyllales here studied
275 were organized according to the previous published phylogeny of 40 families of this order based on 83
276 plastidic loci [47]. Moreover, the 16 Caryophyllid species here studied were clustered in a monophylet-

277 ic ingroup. Based on these phylogenetic results, we concluded that the 29 mitochondrial loci here used
278 had enough phylogenetic resolution to separate families of the order Caryophyllales. We expect that in
279 the future, as more complete mitochondrial genomes are being published, the value of mtDNA for phy-
280 logenetic analysis will be reevaluated. For example, recently, the study of Rydin et al. [26] analyzed 53
281 species of Rubiaceae (Gentianales); based on mitochondrial and chloroplast genomes. The phylogenet-
282 ic trees showed phylogenetic discordances, which suggested that the phylogenetic studies should in-
283 clude mitochondrial, nuclear and plastid loci in order to study in detail the evolution of plants.

284 **Conclusions**

285 This newly assembled and annotated complete mitochondrial genome of the cactus *M. huitzilopochtli*
286 has findings that will allow for further comparisons of mtDNA of members of Cactaceae. We expect
287 that our study contributes to elucidate biological, taxonomic, and systematic issues still extant in Cac-
288 taceae. In the context of angiosperms, we consider that presently, we are far from understanding the
289 processes that drive the structural organization of mtDNA of plants. It seems that the low mutation
290 rates documented in coding regions of mtDNA in this cactus are driven by natural selection, which
291 allows synonymous substitutions in DNA sequences without effects on the amino acids chains. Thus,
292 we encourage the sequencing of complete mitochondrial genomes in order to assemble the evolutionary
293 puzzle of plants.

294

295 **Methods**

296 **Genomic DNA extraction and massive sequencing**

297 Tissue samples of *Mammillaria huitzilopochtli* D.R. Hunt were collected in 2016 from a wild popula-
298 tion close to the municipality of San Juan Bautista Cuicatlán, Oaxaca. These tissue samples were im-

299 mediately stored in liquid nitrogen until its experimental processing in the laboratory, where tissue
300 samples are maintained at -80°C to long term for genetic research.

301 Frozen tissue samples of 70-100 mg from single individual of *Mammillaria huitzilopochtli* were inde-
302 pendently processed following the indications of manufacturer of DNAeasy Plant Mini Kit (Qiagen,
303 Germany), in order to obtain one microgram of gDNA of high molecular weight and 260/280 \geq 1.7.
304 This whole gDNA was supplied to sequencer provider, who prepared PE libraries with a mean size of
305 \sim 600 bp of insert and sequenced in 2 x 150 cycles in TruSeq Nano DNA 350 (Illumina, USA).

306 **Mitochondrial genome assembly and annotation**

307 The quality of the reads of raw data was checked with FastQC v0.11.9 [48]. Since 91.66% the reads
308 had Qphred \geq 30, and attached adapters were not identified, these reads did not require filtering. Since
309 in this set of reads the three genomes were represented, we proceeded to extract only those reads of
310 mitochondrial origin. For this, the reads of plastid origin were mapped with BWA-0.7.17 [49], taking
311 as reference the cpDNA published for *M. huitzilopochtli* [33]. These plastid reads were discarded with
312 SAMtools 1.15 [50]. The remaining reads were *de novo* assembled with NovoPlasty 4.3 [51]. This as-
313 sembly obtained various and large supercontigs (\sim 10 - 290 kbp), which did not compose a single con-
314 tinuous sequence. The plant mitochondrial origin of the reads included in these supercontigs was veri-
315 fied with BLASTN [52]. All of these mitochondrial reads verified were directly extracted from raw
316 data; and were newly assembled with the pipeline Unicycler v.0.4.9 [53] that uses SPAdes 3.15 [54] as
317 assembler. This assembler formed various and independent large supercontigs of \sim 300 kbp, which were
318 input in the program Bandage v0.8.1 [55] in order to identify their adjacency. The original reads of
319 these flanking sequences were searched in the raw data with BBDuk [56], in this way we achieved to
320 merge all supercontigs. Finally, since some few and short gaps remained in some of the supercontigs,
321 we searched in the original reads of raw data those sequences in order to fill by hand these gaps. Once
322 the genome was completely assembled, it was fully annotated with Mitofy [17]; and all the genes iden-

323 tified were manually curated with BLASTN [52] The complete mitochondrial genome assembled, an-
324 notated, and manually curated of *M. huitzilopochtli* was plotted with OGDRAW [57]. The mtDNAM-
325 hui was featured on the total size, number of chromosomes, gene composition based on three types of
326 genes: protein coding genes (PCG) that were classified in families according to its functional role;
327 tRNAs and rRNAs. For each PCG, its length, start and stop codons, and the length of the amino acid
328 chain transcribed were described. In addition, we characterized the abundant and diverse types of re-
329 peated sequences with MISA-web [58]. Those repeats of microsatellite type (i.e. DNA sequences re-
330 peated in tandem) were assessed. We characterized the microsatellite as simple (i.e. an unique type of
331 motif) and composed (i.e. two or more types of motifs) microsatellites, with a number of repeats of
332 three to eight. In addition, the direct and inverted repeats of at least 20 bp also were assessed with RE-
333 Puter [59]. Lastly, we searched DNA sequences of plastid origin by comparing mtDNAMhui to the
334 cpDNA accessed at NCBI (MN517612) previously reported [33]. This comparison was carried out with
335 BLASTN [52] based on parameters of matching rate $\geq 70\%$, E-value $\leq 1e - 10$, and length ≥ 40 .

336 **Comparison of mitochondrial genome of *Mammillaria huitzilopochtli* to other land plant species**

337 We compared gene composition and structural characteristics between mtDNAMhui to the mtDNA
338 previously reported for other 15 Caryophyllids, and other four angiosperms *Arabidopsis thaliana*, *Cu-*
339 *curbita pepo*, *Nicotiana tabacum* and *Zea mays* with detailed mtDNA published. The gymnosperm
340 *Cycas taitungensis* was used as external group in phylogenetic analysis (species evaluated listed in
341 Online Resource 1). The phylogenetic tree was obtained for these 21 studied species, and it was based
342 on 29 orthologous loci (26,849 bp) identified with OrthoFinder 2.5.4 [60]. The DNA sequences of
343 these loci were both coding sequences as noncoding sequences IGS. The DNA sequences of these loci
344 were concatenated and aligned with MAFFT 7.471 [61]. The best substitution model that the program
345 ModelFinder [62] identified was IVM; and Maximum Likelihood ran with 1000 bootstraps in IQ-
346 TREE 1.6.12 [63] were used to obtain this tree. We used this phylogenetic tree to organize the taxa

347 order in the comparisons carried out. We compared among the 21 species the percentage of GC con-
348 tent, the total size, and number and identity of genes. Since in mtDNA of land plants there is a group of
349 genes recognized as core genes, which includes PCGs (e.g. [2, 13] and tRNAs, we described in de-
350 tail the number and type of these genes for each of the 21 studied species, as well as, if these were
351 pseudogenes or were completely lack in the respective mtDNA. We tested the statistical relationship
352 between GC content to the total length of the 21 genomes analyzed with Pearson correlation following
353 the procedure described in Sokal and Rohlf [64]. In order to evaluate the natural selection on the DNA
354 sequences of PCGs we estimated the rate of synonymous (Ks) and nonsynonymous (Ka) substitutions
355 of 25 PCGs between mtDNAMhui and other six angiosperm species (*A. thaliana*, *Bougainvillea*
356 *spectabilis*, *Chenopodium quinoa*, *N. tabacum* and *Z. mays*) to *M. huitzilopochtli*. These 25 PCGs were
357 extracted from the complete mtDNA of each of these seven species; and then aligned with MAFFT
358 7.471 [61]. The rate Ka/Ks was estimated with codeml [65], which was ran online in the PAL2NAL
359 site [66]. Accordingly, the effect of natural selection was assigned as negative selection when $Ka/Ks <$
360 1, positive selection if $Ka/Ks > 1$ and neutral selection if $Ka/Ks = 1$ [67].

361 **Abbreviations**

362 *M. huitzilopochtli*: *Mammillaria huitzilopochtli*,

363 mtDNA: mitochondrial DNA,

364 cpDNA: chloroplast DNA,

365 PCG: protein coding gene

366 **Supplementary information**

367 **Table S1:** Taxonomic classification of the 21 studies species evaluated in this study.

368 **Declarations**

369 **Ethics approval and consent to participate**

370 The cactus species analyzed in this study is included in the Mexican Red List Species (NOM-059-
371 SEMARNAT-2010), the sampling was authorized to S.S. with the collecting permission number
372 SGPA/DGVS/06880/16, in accordance with the national regulations established for protected species
373 sampled for research purposes. Dr. Salvador Arias, specialist in taxonomy of cacti, confirmed the taxo-
374 nomic identity of the specimen.

375 **Consent for publication**

376 Not applicable.

377 **Availability of data and materials**

378 List of the species investigated, and their accession IDs is included in Table S1. The genome sequenced
379 here reported is free available at GenBank site (ID: OP081771).

380 **Competing interests**

381 The authors declare that they have no competing interests.

382 **Funding**

383 This work was supported by Programa de Apoyo a Proyectos de Investigación e Innovación Tecnológi-
384 ca de la UNAM (PAPIIT-DGAPA IN228619).

385 **Authors' contributions**

386 Conceptualization D.C.P. and S.S., formal analysis, D.C.P. writing—original draft preparation; writ-
387 ing—review and editing, D.C.P. and S.S.; supervision, S.S.; funding acquisition, S.S. All authors have
388 read and agreed to the published version of the manuscript.

389 **Acknowledgments**

390 D. Cruz Plancarte (414082920) is a Master student at Posgrado en Ciencias Biológicas, Universidad
391 Nacional Autónoma de México; he is granted by Consejo Nacional de Ciencia y Tecnología
392 CONACyT (1086093); and this paper is a requisite to obtain his MSc degree at the Posgrado en

393 Ciencias Biológicas, UNAM. The company MacroGen Inc., Seoul, South Korea provided sequencing
394 service of whole genome of *M. huitzilopochtli*.

395 **References**

- 396 1. Roger AJ, Muñoz-Gómez SA, Kamikawa R. The Origin and Diversification of Mitochondria. *Curr Biol.*
397 2017;27:R1177–92.
- 398 2. Kozik A, Rowan BA, Lavelle D, Berke L, Schranz ME, Michelmore RW, et al. The alternative reality of plant
399 mitochondrial DNA: One ring does not rule them all. *PLoS Genet.* 2019;15:e1008373.
- 400 3. Jacoby RP, Li L, Huang S, Lee CP, Millar AH, Taylor NL. Mitochondrial Composition, Function and Stress
401 Response in Plants. *J Integr Plant Biol.* 2012;54:887–906.
- 402 4. Liberatore KL, Dukowic-Schulze S, Miller ME, Chen C, Kianian SF. The role of mitochondria in plant devel-
403 opment and stress tolerance. *Free Radic Biol Med.* 2016;100:238–56.
- 404 5. Van Aken O, Van Breusegem F. Licensed to Kill: Mitochondria, Chloroplasts, and Cell Death. *Trends Plant*
405 *Sci.* 2015;20:754–66.
- 406 6. Kim Y-J, Zhang D. Molecular Control of Male Fertility for Crop Hybrid Breeding. *Trends Plant Sci.*
407 2018;23:53–65.
- 408 7. Mahapatra K, Banerjee S, De S, Mitra M, Roy P, Roy S. An Insight Into the Mechanism of Plant Organelle
409 Genome Maintenance and Implications of Organelle Genome in Crop Improvement: An Update. *Front Cell Dev*
410 *Biol.* 2021;9:671698.
- 411 8. Chevigny N, Schatz-Daas D, Lotfi F, Gualberto JM. DNA Repair and the Stability of the Plant Mitochondrial
412 Genome. *Int J Mol Sci.* 2020;21:328.
- 413 9. Skippington E, Barkman TJ, Rice DW, Palmer JD. Miniaturized mitogenome of the parasitic plant *Viscum*
414 *scurruloideum* is extremely divergent and dynamic and has lost all *nad* genes. *Proc Natl Acad Sci USA.*
415 2015;112:E3515–24.
- 416 10. Sloan DB, Alverson AJ, Chuckalovcak JP, Wu M, McCauley DE, Palmer JD, et al. Rapid Evolution of
417 Enormous, Multichromosomal Genomes in Flowering Plant Mitochondria with Exceptionally High Mutation
418 Rates. *PLoS Biol.* 2012;10.
- 419 11. Li R, Wei X, Wang Y, Zhang Y. The complete mitochondrial genome of a mangrove associated plant:
420 *Sesuvium portulacastrum* and its phylogenetic implications. *Mitochondrial DNA B Resour.* 5:3112–3.
- 421 12. Adams KL, Palmer JD. Evolution of mitochondrial gene content: gene loss and transfer to the nucleus. *Mol*
422 *Phylogenet Evol.* 2003;29:380–95.
- 423 13. Adams KL, Qiu Y-L, Stoutemyer M, Palmer JD. Punctuated evolution of mitochondrial gene content: High
424 and variable rates of mitochondrial gene loss and transfer to the nucleus during angiosperm evolution. *Proc Natl*
425 *Acad Sci USA.* 2002;99:9905–12.
- 426 14. Rao RSP, Salvato F, Thal B, Eubel H, Thelen JJ, Møller IM. The proteome of higher plant mitochondria.
427 *Mitochondrion.* 2017;33:22–37.

- 428 15. Zhao N, Wang Y, Hua J. The Roles of Mitochondrion in Intergenomic Gene Transfer in Plants: A Source
429 and a Pool. *Int J Mol Sci.* 2018;19:547.
- 430 16. Rodríguez-Moreno L, González VM, Benjak A, Martí MC, Puigdomènech P, Aranda MA, et al. Determina-
431 tion of the melon chloroplast and mitochondrial genome sequences reveals that the largest reported mitochon-
432 drial genome in plants contains a significant amount of DNA having a nuclear origin. *BMC Genomics.*
433 2011;12:424.
- 434 17. Alverson AJ, Wei X, Rice DW, Stern DB, Barry K, Palmer JD. Insights into the Evolution of Mitochondrial
435 Genome Size from Complete Sequences of *Citrullus lanatus* and *Cucurbita pepo* (Cucurbitaceae). *Mol Biol Evol.*
436 2010;27:1436–48.
- 437 18. Goremykin VV, Salamini F, Velasco R, Viola R. Mitochondrial DNA of *Vitis vinifera* and the Issue of Ram-
438 pant Horizontal Gene Transfer. *Mol Biol Evol.* 2008;26:99–110.
- 439 19. Alverson AJ, Rice DW, Dickinson S, Barry K, Palmer JD. Origins and Recombination of the Bacterial-Sized
440 Multichromosomal Mitochondrial Genome of Cucumber. *Plant Cell.* 2011;23:2499–513.
- 441 20. Rice DW, Alverson AJ, Richardson AO, Young GJ, Sanchez-Puerta MV, Munzinger J, et al. Horizontal
442 transfer of entire genomes via mitochondrial fusion in the angiosperm *Amborella*. *Science.* 2013;342:1468–73.
- 443 21. Bergthorsson U, Richardson AO, Young GJ, Goertzen LR, Palmer JD. Massive horizontal transfer of mito-
444 chondrial genes from diverse land plant donors to the basal angiosperm *Amborella*. *Proc Natl Acad Sci USA.*
445 2004;101:17747–52.
- 446 22. Sanchez-Puerta MV, Edera A, Gandini CL, Williams AV, Howell KA, Nevill PG, et al. Genome-scale trans-
447 fer of mitochondrial DNA from legume hosts to the holoparasite *Lophophytum mirabile* (Balanophoraceae). *Mol*
448 *Phylogenet Evol.* 2019;132:243–50.
- 449 23. Cupp JD, Nielsen BL. Minireview: DNA replication in plant mitochondria. *Mitochondrion.* 2014;19:231–7.
- 450 24. Drouin G, Daoud H, Xia J. Relative rates of synonymous substitutions in the mitochondrial, chloroplast and
451 nuclear genomes of seed plants. *Mol Phylogenet Evol.* 2008;49:827–31.
- 452 25. Wolfe KH, Li WH, Sharp PM. Rates of nucleotide substitution vary greatly among plant mitochondrial,
453 chloroplast, and nuclear DNAs. *Proc Natl Acad Sci USA.* 1987;84:9054–8.
- 454 26. Rydin C, Wikström N, Bremer B. Conflicting results from mitochondrial genomic data challenge current
455 views of Rubiaceae phylogeny. *Am J Bot.* 2017;104:1522–32.
- 456 27. Moore MJ, Soltis PS, Bell CD, Burleigh JG, Soltis DE. Phylogenetic analysis of 83 plastid genes further
457 resolves the early diversification of eudicots. *Proc Natl Acad Sci USA.* 2010;107:4623–8.
- 458 28. Gitzendanner MA, Soltis PS, Wong GK-S, Ruhfel BR, Soltis DE. Plastid phylogenomic analysis of green
459 plants: A billion years of evolutionary history. *Am J Bot.* 2018;105:291–301.
- 460 29. Hunt DR. *The new cactus lexicon, text and atlas.* Milborne Port, UK: DH Books; 2006.
- 461 30. Hernández-Hernández T, Hernández HM, De-Nova JA, Puente R, Eguiarte LE, Magallón S. Phylogenetic
462 relationships and evolution of growth form in Cactaceae (Caryophyllales, Eudicotyledoneae). *Am J Bot.*
463 2011;98:44–61.
- 464 31. Butterworth CA, Wallace RS. Phylogenetic Studies of *Mammillaria* (Cactaceae): Insights from Chloroplast
465 Sequence Variation and Hypothesis Testing Using the Parametric Bootstrap. *Am J Bot.* 2004;91:1086–98.

- 466 32. Harpke D, Peterson A, Hoffmann M, Röser M. Phylogenetic evaluation of chloroplast trnL–trnF DNA se-
467 quence variation in the genus *Mammillaria* (Cactaceae). *Schlechtendalia*. 2006;14:7–16.
- 468 33. Solórzano S, Chincoya DA, Sanchez-Flores A, Estrada K, Díaz-Velásquez CE, González-Rodríguez A, et al.
469 De Novo Assembly Discovered Novel Structures in Genome of Plastids and Revealed Divergent Inverted Re-
470 peats in *Mammillaria* (Cactaceae, Caryophyllales). *Plants*. 2019;8:392.
- 471 34. Chincoya DA, Sanchez-Flores A, Estrada K, Díaz-Velásquez CE, González-Rodríguez A, Vaca-Paniagua F,
472 et al. Identification of High Molecular Variation Loci in Complete Chloroplast Genomes of *Mammillaria* (Cac-
473 taceae, Caryophyllales). *Genes*. 2020;11:830.
- 474 35. Wu Z, Cuthbert JM, Taylor DR, Sloan DB. The massive mitochondrial genome of the angiosperm *Silene*
475 *noctiflora* is evolving by gain or loss of entire chromosomes. *Proc Natl Acad Sci USA*. 2015;112:10185–91.
- 476 36. Cheng Y, He X, Priyadarshani SVGN, Wang Y, Ye L, Shi C, et al. Assembly and comparative analysis of
477 the complete mitochondrial genome of *Suaeda glauca*. *BMC Genomics*. 2021;22:167.
- 478 37. Cui H, Ding Z, Zhu Q, Wu Y, Qiu B, Gao P. Comparative analysis of nuclear, chloroplast, and mitochondrial
479 genomes of watermelon and melon provides evidence of gene transfer. *Sci Rep*. 2021;11:1595.
- 480 38. Stern DB, Palmer JD. Recombination sequences in plant mitochondrial genomes: diversity and homologies
481 to known mitochondrial genes. *Nucl Acids Res*. 1984;12:6141–57.
- 482 39. Cole LW, Guo W, Mower JP, Palmer JD. High and Variable Rates of Repeat-Mediated Mitochondrial Ge-
483 nome Rearrangement in a Genus of Plants. *Mol Biol Evol*. 2018. <https://doi.org/10.1093/molbev/msy176>.
- 484 40. Gualberto JM, Mileshina D, Wallet C, Niazi AK, Weber-Lotfi F, Dietrich A. The plant mitochondrial ge-
485 nome: Dynamics and maintenance. *Biochimie*. 2014;100:107–20.
- 486 41. Putintseva YA, Bondar EI, Simonov EP, Sharov VV, Oreshkova NV, Kuzmin DA, et al. Siberian larch (*Lar-*
487 *ix sibirica* Ledeb.) mitochondrial genome assembled using both short and long nucleotide sequence reads is cur-
488 rently the largest known mitogenome. *BMC Genomics*. 2020;21:654.
- 489 42. Jackman SD, Coombe L, Warren RL, Kirk H, Trinh E, MacLeod T, et al. Complete Mitochondrial Genome
490 of a Gymnosperm, Sitka Spruce (*Picea sitchensis*), Indicates a Complex Physical Structure. *Genome Biol Evol*.
491 2020;12:1174–9.
- 492 43. Warren JM, Salinas-Giegé T, Triant DA, Taylor DR, Drouard L, Sloan DB. Rapid Shifts in Mitochondrial
493 tRNA Import in a Plant Lineage with Extensive Mitochondrial tRNA Gene Loss. *Mol Biol Evol*. 2021;38:5735–
494 51.
- 495 44. Wang D, Wu Y-W, Shih AC-C, Wu C-S, Wang Y-N, Chaw S-M. Transfer of Chloroplast Genomic DNA to
496 Mitochondrial Genome Occurred At Least 300 MYA. *Mol Biol Evol*. 2007;24:2040–8.
- 497 45. Chaw S-M, Chun-Chieh Shih A, Wang D, Wu Y-W, Liu S-M, Chou T-Y. The Mitochondrial Genome of the
498 Gymnosperm *Cycas taitungensis* Contains a Novel Family of Short Interspersed Elements, Bpu Sequences, and
499 Abundant RNA Editing Sites. *Mol Biol Evol*. 2008;25:603–15.
- 500 46. Brockington SF, Alexandre R, Ramdial J, Moore MJ, Crawley S, Dhingra A, et al. Phylogeny of the Caryo-
501 phyllales *Sensu Lato*: Revisiting Hypotheses on Pollination Biology and Perianth Differentiation in the Core
502 Caryophyllales. *Int J Plant Sci*. 2009;170:627–43.
- 503 47. Yao G, Jin J-J, Li H-T, Yang J-B, Mandala VS, Croley M, et al. Plastid phylogenomic insights into the evo-
504 lution of Caryophyllales. *Mol Phylogenet Evol*. 2019;134:74–86.

- 505 48. Andrews S. FastQC A Quality Control tool for High Throughput Sequence Data. 2010.
506 <http://www.bioinformatics.babraham.ac.uk/projects/fastqc/>. Accessed 4 Feb 2020.
- 507 49. Li H, Durbin R. Fast and accurate short read alignment with Burrows-Wheeler transform. *Bioinformatics*.
508 2009;25:1754–60.
- 509 50. Li H, Handsaker B, Wysoker A, Fennell T, Ruan J, Homer N, et al. The Sequence Alignment/Map format
510 and SAMtools. *Bioinformatics*. 2009;25:2078–9.
- 511 51. Dierckxsens N, Mardulyn P, Smits G. NOVOPlasty: de novo assembly of organelle genomes from whole
512 genome data. *Nucleic Acids Res*. 2017;45:e18–e18.
- 513 52. Altschul SF, Gish W, Miller W, Myers EW, Lipman DJ. Basic local alignment search tool. *J Mol Biol*.
514 1990;215:403–10.
- 515 53. Wick RR, Judd LM, Gorrie CL, Holt KE. Unicycler: Resolving bacterial genome assemblies from short and
516 long sequencing reads. *PLoS Comput Biol*. 2017;13:e1005595.
- 517 54. Prjibelski A, Antipov D, Meleshko D, Lapidus A, Korobeynikov A. Using SPAdes De Novo Assembler.
518 *Curr Protoc Bioinformatics*. 2020;70.
- 519 55. Wick RR, Schultz MB, Zobel J, Holt KE. Bandage: interactive visualization of *de novo* genome assemblies:
520 Fig. 1. *Bioinformatics*. 2015;31:3350–2.
- 521 56. Bushnell B, Rood J, Singer E. BBMerge – Accurate paired shotgun read merging via overlap. *PLoS ONE*.
522 2017;12:e0185056.
- 523 57. Greiner S, Lehwark P, Bock R. OrganellarGenomeDRAW (OGDRAW) version 1.3.1: expanded toolkit for
524 the graphical visualization of organellar genomes. *Nucleic Acids Res*. 2019;47:W59–64.
- 525 58. Beier S, Thiel T, Münch T, Scholz U, Mascher M. MISA-web: a web server for microsatellite prediction.
526 *Bioinformatics*. 2017;33:2583–5.
- 527 59. Kurtz S. REPuter: the manifold applications of repeat analysis on a genomic scale. *Nucleic Acids Res*.
528 2001;29:4633–42.
- 529 60. Emms DM, Kelly S. OrthoFinder: phylogenetic orthology inference for comparative genomics. *Genome*
530 *Biol*. 2019;20:238.
- 531 61. Katoh K, Misawa K, Kuma K, Miyata T. MAFFT: a novel method for rapid multiple sequence alignment
532 based on fast Fourier transform. *Nucleic Acids Res*. 2002;30:3059–66.
- 533 62. Kalyanamoorthy S, Minh BQ, Wong TKF, von Haeseler A, Jermiin LS. ModelFinder: fast model selection
534 for accurate phylogenetic estimates. *Nat Methods*. 2017;14:587–9.
- 535 63. Nguyen L-T, Schmidt HA, von Haeseler A, Minh BQ. IQ-TREE: A Fast and Effective Stochastic Algorithm
536 for Estimating Maximum-Likelihood Phylogenies. *Mol Biol Evol*. 2015;32:268–74.
- 537 64. Sokal RR, Rohlf FJ. Introduction to biostatistics. 2nd ed., Dover ed. Mineola, N.Y: Dover Publications;
538 2009.
- 539 65. Goldman N, Yang Z. A codon-based model of nucleotide substitution for protein-coding DNA sequences.
540 *Mol Biol Evol*. 1994. <https://doi.org/10.1093/oxfordjournals.molbev.a040153>.

541 66. Suyama M, Torrents D, Bork P. PAL2NAL: robust conversion of protein sequence alignments into the corre-
 542 sponding codon alignments. Nucleic Acids Res. 2006;34 Web Server:W609–12.

543 67. Hurst LD. The Ka/Ks ratio: diagnosing the form of sequence evolution. Trends Genet. 2002;18:486–7.

544

545

546

547

548

549

550

551 **Table 1** Gene composition of the mitochondrial genome of *Mammillaria huitzilopochtli* grouped by protein coding genes,
 552 ribosomal and transfer RNAs. Protein coding genes were of ten different gene families; for each of these genes is showed its
 553 length, its start and stop codons; and the number of amino acids transcribed

Type of genes	Gene name	Length (bp)	Start codon	Stop codon	Amino acid
I. Protein Coding Genes					
1. NADH dehydrogenase	<i>nad1</i> ^a	978	ACG	TAA	325
	<i>nad2</i> ^a	1467	ATG	TAA	488
	<i>nad3</i>	357	ATG	TAA	118
	<i>nad4</i> ^a	1488	ATG	TGA	495
	<i>nad4L</i>	273	ATG	TAA	90
	<i>nad5</i> ^a	1992	ATG	TAA	663
	<i>nad6</i>	690	ATG	TAA	229
	<i>nad7</i> ^a	1092	ATG	TAG	363
	<i>nad9</i>	579	ATG	TAA	192
2. ATP synthase	<i>atp1</i>	1530	ATG	TGA	509
	<i>atp4</i>	552	ATG	TAA	183
	<i>atp6</i>	726	ATG	TAG	241
	<i>atp8</i>	489	ATG	TAA	162
	<i>atp9</i>	225	ATG	CGA	74
3. Cytochrome c biogenesis	<i>ccmB</i>	621	ATG	TGA	206
	<i>ccmC</i>	720	ATG	TGA	239
	<i>ccmFC</i> ^a	1341	ATG	TAG	446
	<i>ccmFN</i>	1740	ATG	TGA	579
4. Cytochrome c oxidase	<i>cox1</i>	1575	ATG	TAA	524
	<i>cox2</i> ^a	834	ATG	TAG	277
	<i>cox3</i>	798	ATG	TGA	265
5. Maturase	<i>matR</i>	1992	ATG	TAG	663
6. Ubiquinol cytochrome c reductase	<i>cob</i>	1182	ATG	TGA	393
7. Ribosomal proteins (LSU)	<i>rpl5</i>	561	ATG	TAA	186
	<i>rpl16</i>	477	GTG	TAA	158
8. Ribosomal proteins (SSU)	<i>rps1</i>	606	ATG	TAA	201
	<i>rps3</i> ^a	1686	ATG	TGA	561
	<i>rps4</i>	1098	TTG	TAA	365
	<i>rps7</i>	447	ATG	TAA	148
	<i>rps12</i>	378	ATG	TGA	125
	<i>rps13</i>	351	ATG	TGA	116
9. Methyltransferase	<i>mttb</i>	783	ATA	TAA	260

10. Cytochrome b	<i>sdh4</i>	423	ATG	TGA	140
II. Ribosomal RNAs					
11. rrn	<i>rrn5</i>	119			
	<i>rrn18</i>	1818			
	<i>rrn26</i>	2859			
III. Transfer RNAs					
12. trn	<i>trnC-GCA</i>	73			
	<i>trnD-GUC</i>	75,74			
	(1) ^b				
	<i>trnE-UUC</i>	72			
	<i>trnF-GAA</i>	74			
	<i>trnM-CAU</i>	60			
	<i>trnG-GCC</i>	72			
	<i>trnH-AUG</i>	70			
	<i>trnH-GUG</i>	74			
	<i>trnI-CAU</i>	74			
	<i>trnK-UUU (1)</i>	73,73			
	<i>trnM-CAU (4)</i>	72,74,73,73,			
		72			
	<i>trnN-GUU</i>	72			
	<i>trnP-UGG (1)</i>	75,74			
	<i>trnQ-UUG (1)</i>	72,72			
	<i>trnS-GCU</i>	88			
	<i>trnS-UGA</i>	87			
	<i>trnY-GUA</i>	83			
	<i>trnV-GAC^b</i>	72			
	<i>trnW-CCA (1)</i>	74,74			

554 Note: In parenthesis is presented the number of additional copies annotated

555 a. genes with introns; b. genes of plastid origin

DISCUSIÓN GENERAL

El ensamble del genoma mitocondrial de *Mammillaria huitzilopochtli* resultó en una sola secuencia con una longitud de 2,050,004 pb. Esta secuencia de ADNmt representa la primera reportada para la familia Cactaceae. Las comparaciones realizadas en término de tamaño, contenido de GC, contenido total de genes y composición genética, permitieron observar los altos niveles de variación estructural que presenta el ADNmt de plantas.

En particular, la especie *M. huitzilopochtli* tiene el tercer genoma más grande reportado a la fecha para el orden Caryophyllales, por debajo de *Silene noctiflora* (7.1 Mpb) (Wu et al., 2015) y *S. conica* (11.3 Mpb) (Sloan et al., 2012). Sin embargo, en el universo de las plantas terrestres, el alerce siberiano (*Larix sibirica*) tiene, hasta el momento, el ADNmt más grande con un total de 11.7 Mpb (Putintseva et al., 2020). Los procesos que determinan esta variación en el tamaño aún no están del todo claros. Además, las expansiones o contracciones parecen estar limitadas a regiones intergénicas, dada la poca variación que hubo en la composición genética de las especies comparadas. Una evaluación y caracterización de las grandes regiones intergénicas podría develar el rol que cumplen en el ADNmt de plantas. Algunos estudios han encontrado grupos de marcos abierto de lectura (ORFs) de función desconocida que son expresados (Negruk, 2013; Omelchenko et al., 2020) y que podrían tener varios roles en la función mitocondrial. La comparación de ORFs, ha permitido proponer genes candidatos con implicaciones en la esterilidad citoplásmica de los machos en algodón (*Gossypium*, Li et al., 2018) y arroz (*Oryza*, Omukai et al., 2021). Resultados como estos permiten proponer al ADNmt de plantas como una fuente de genes huérfanos (genes exclusivos de un linaje) que pueden ser de gran relevancia para el entendimiento de la evolución de las plantas (O'Conner y Li, 2020).

Las secuencias repetidas localizadas en la mitocondria suelen ser de tipo microsatélite, es decir, pueden ser directos o invertidos. Estas secuencias aportan a la expansión de los genomas y constituyen una alta proporción del genoma total. Por ejemplo, en el pepino (*Cucumis sativus*), se identificó que hasta el 36% del genoma está conformado de regiones repetitivas, siendo aquellos menores a 50 pb los más abundantes (Alverson et al., 2011). En varios estudios se ha propuesto que estos repetidos participan en la replicación del ADNmt (Cupp y Nielsen, 2014) o en la recombinación mediada por repetidos (Cole et al., 2018), y por lo tanto, podrían cumplir un rol importante en los rearrreglos estructurales del ADNmt (Mahapatra et al., 2021). Otro tipo de repetidos comunes en el ADNmt son los microsatélites, esto podría implicar que el genoma mitocondrial es una importante fuente de variación que

puede tener gran utilidad en estudios poblacionales, y su abundancia, polimorfismo y facilidad de detección por PCR facilita su uso (Powell et al., 1996).

La composición de genes del ADNmt en plantas parece tener implicaciones filogenéticas, sin importar los factores estructurales del ADNmt. Al comparar la composición genética de las 21 especies, se observó poca variación entre las especies cercanamente relacionadas, sin embargo, entre las plantas terrestres, las gimnospermas parecen tener una mayor cantidad de genes únicos que las angiospermas. Por ejemplo, *Cycas taitungensis* tiene la mayor cantidad de genes únicos con excepción de *trnI-GAU* y *trnL-CAA*, lo cual representa una composición de genes muy similar a otras especies de gimnospermas (Jackman et al., 2020; Putintseva et al., 2020). Sin embargo, es importante mencionar, que la ausencia de genes en el ADNmt no implica la pérdida de estos, sino su migración al núcleo (Cui et al., 2021).

Al comparar el genoma mitocondrial con el de cloroplasto de *M. huitzilopochtli*, se pudieron identificar aquellas regiones que han migrado de la mitocondria hacia el cloroplasto. Un total de cinco genes de cloroplasto con una copia adicional en el ADNmt (*psaC*, dos copias de *trnD-GUC*, *trnN-GUU* y *trnI-CAU*), fueron identificados. En contraste, la presencia de ARNs de transferencia de origen del cloroplasto en el ADNmt es común en plantas. De hecho, hay estudios previos que indican que estos ARNs de transferencia mantienen su función en la mitocondria y participan en la síntesis de proteínas (Joyce y Gray, 1989; Warren et al., 2021). Conocer la función que cumple el gen *psaC* en la mitocondria no es posible por métodos bioinformáticos, por lo tanto, no podemos, por el momento, elucidar las razones y las consecuencias de la migración de este gen codificante.

El análisis de las tasas de sustituciones no sinónimas sobre sustituciones sinónimas (Ka/Ks) y su comparación con otras especies de angiospermas revela algunas de las fuerzas evolutivas a las que está sujeto el ADNmt, los cuales son consistentes con otros estudios realizados en plantas (Cheng et al. 2021). La mayoría de los genes codificantes de proteínas están sujetos a selección negativa, lo que nos indica que estos son funcionalmente importantes y son conservados en la mayoría de las plantas terrestres (Cheng et al. 2021).

El árbol filogenético obtenido en este trabajo muestra una topología concordante con las filogenias previamente obtenidas a partir de loci de cloroplasto. Las siete familias se organizan en un grupo monofilético y se organizan dentro de los mismos clados recuperados en una filogenia reconstruida por Yao y colaboradores (2019), a partir del uso de 83 marcadores de cloroplasto. En este análisis filogenético, se recuperó el clado de inclusión globular (Cactaceae + Aizoaceae + Nyctaginaceae), Centrospermae (Amaranthaceae +

Chenopodiaceae + Caryophyllaceae) y Non-core Caryophyllales (Nepenthaceae + Polygonaceae). Estos resultados nos indican que los marcadores mitocondriales usados para la reconstrucción filogenética tienen la suficiente resolución para separar familias del orden Caryophyllales. A partir de estos resultados, se considera que la facilidad de secuenciación y técnicas como *genome skimming* permitirán obtener una mayor cantidad de datos mitocondriales (Dodsworth, 2015; Nevill *et al.*, 2020) y favorecerán futuros estudios filogenómicos del ADNmt que resalten la importancia de este genoma como fuente de variación. De hecho, recientemente, algunos estudios se han propuesto evaluar esto. Así, están disponibles las filogenias reconstruidas en angiospermas para la familia Rubiaceae (Gentianales) a partir de loci de cloroplasto y mitocondria, los cuales mostraron discordancias. Los autores atribuyen estas discordancias a eventos de hibridación de las especies y enfatizaron la importancia del genoma mitocondrial como fuente de información filogenética (Rydin *et al.*, 2017). Resultados similares se han reportado en la familia Poaceae (Poales), en la cual las discordancias no sólo se limitan a las filogenias reconstruidas con genomas de orgánulos, sino también a aquellas inferidas a partir de loci nucleares. En este caso, los autores sugieren que la intrincada historia evolutiva causada por la radiación adaptativa, la poliploidía y la hibridación de muchos grupos de plantas, podría ser la causante de estas conflictivas señales evolutivas (Wu *et al.*, 2022).

CONCLUSIONES GENERALES

En este estudio se ensambló y anotó el genoma mitocondrial de *M. huitzilopochtli*. El genoma es lineal con una longitud de 2,050,004 pb. Un total de 65 genes fueron anotados. De ellos 34 son genes codificantes de proteínas, 28 corresponden a ARNs de transferencia y tres a ARNs ribosomales. Los resultados obtenidos mostraron diferencias de tamaño entre las especies comparadas, los valores de GC y la composición de genes conservados. La estimación de tasas Ka/Ks reveló que los genes codificantes de proteínas son conservados y que están bajo una selección negativa. Las relaciones filogenéticas de las familias de Caryophyllales fueron concordantes con lo previamente reportado con para los loci de cloroplasto.

Este trabajo permitió reevaluar la importancia del genoma mitocondrial como una fuente importante de variación molecular y estructural en plantas terrestres. Esta variación debe ser tomada en cuenta para responder preguntas evolutivas de plantas y para construir las relaciones filogenéticas de las especies. Sin embargo, la complejidad de este genoma aún representa un reto bioinformático, ya que es necesario el uso de tecnologías de secuenciación de última generación que generen lecturas largas para determinar los rearrreglos estructurales de este genoma. Además, se requiere profundizar en el estudio del genoma mitocondrial para conocer en detalle el origen, causas y consecuencias de su alta variación molecular y estructural, así como para caracterizar en detalle las grandes regiones intergénicas de la mitocondria en plantas.

REFERENCIAS BIBLIOGRÁFICAS

- Adams K L, Palmer J D. 2003. Evolution of mitochondrial gene content: gene loss and transfer to the nucleus. *Molecular Phylogenetics and Evolution* **29**:380-395.
- Adams K L, Qiu Y-L, Stoutemyer M, Palmer J D. 2002. Punctuated evolution of mitochondrial gene content: High and variable rates of mitochondrial gene loss and transfer to the nucleus during angiosperm evolution. *Proceedings of the National Academy of Sciences* **99**:9905-9912.
- Alverson A J, Rice D W, Dickinson S, Barry K, Palmer J D. 2011. Origins and Recombination of the Bacterial-Sized Multichromosomal Mitochondrial Genome of Cucumber. *The Plant Cell* **23**:2499-2513.
- del Ángel-Piña C. 2005. Análisis cromosómico y determinación del tamaño del genoma por citometría de flujo en especies de Mammillaria de la serie Supertextae (Cactaceae). Tesis de Maestría, UNAM, México, D.F.
- Arakaki M, Christin P-A, Nyffeler R, Lendel A, Eggli U, Ogburn R M, Spriggs E, Moore M J, Edwards E J. 2011. Contemporaneous and recent radiations of the world's major succulent plant lineages. *Proceedings of the National Academy of Sciences* **108**:8379-8384.
- Araújo W L, Nunes-Nesi A, Fernie A R. 2014. On the role of plant mitochondrial metabolism and its impact on photosynthesis in both optimal and sub-optimal growth conditions. *Photosynthesis Research* **119**:141-156.
- Bárcenas R T, Yesson C, Hawkins J A. 2011. Molecular systematics of the Cactaceae. *Cladistics* **27**:470-489.
- Bensasson D, Zhang D-X, Hartl D L, Hewitt G M. 2001. Mitochondrial pseudogenes: evolution's misplaced witnesses. *Trends in Ecology & Evolution* **16**:314-321.
- Bergthorsson U, Richardson A O, Young G J, Goertzen L R, Palmer J D. 2004. Massive horizontal transfer of mitochondrial genes from diverse land plant donors to the basal angiosperm Amborella. *Proceedings of the National Academy of Sciences* **101**:17747-17752.
- Blanchard J L, Schmidt G W. 1995. Pervasive migration of organellar DNA to the nucleus in plants. *Journal of Molecular Evolution* **41**:397-406.
- Brockington S F, Alexandre R, Ramdial J, Moore M J, Crawley S, Dhingra A, Hilu K, Soltis D E, Soltis P S. 2009. Phylogeny of the Caryophyllales Sensu Lato: Revisiting Hypotheses on Pollination Biology and Perianth Differentiation in the Core Caryophyllales. *International Journal of Plant Sciences* **170**:627-643.

- Burger G, Gray M W, Franz Lang B. 2003. Mitochondrial genomes: anything goes. *Trends in Genetics* **19**:709-716.
- Butterworth C A, Wallace R S. 2004. Phylogenetic studies of *Mammillaria* (Cactaceae)—insights from chloroplast sequence variation and hypothesis testing using the parametric bootstrap. *American Journal of Botany* **91**:1086-1098.
- Cota-Sánchez J H, Bomfim-Patricio M C. 2010. Seed morphology, polyploidy and the evolutionary history of the epiphytic cactus *Rhipsalis baccifera* (Cactaceae). *Polibotánica*:107-129.
- Crozier B S. 2005. Systematics of Cactaceae Juss.: phylogeny, cpDNA evolution, and classification, with emphasis on the genus *Mammillaria* Haw. Tesis de Doctorado, Universidad de Texas, E.U.A.
- Cui H, Ding Z, Zhu Q, Wu Y, Qiu B, Gao P. 2021. Comparative analysis of nuclear, chloroplast, and mitochondrial genomes of watermelon and melon provides evidence of gene transfer. *Scientific Reports* **11**:1595.
- Dodsworth S. 2015. Genome skimming for next-generation biodiversity analysis. *Trends in Plant Science* **20**:525-527.
- Dong S, Chen L, Liu Y, Wang Y, Zhang S, Yang L, Lang X, Zhang S. 2020. The draft mitochondrial genome of *Magnolia biondii* and mitochondrial phylogenomics of angiosperms. *PLOS ONE* **15**:e0231020.
- Goremykin V V, Salamini F, Velasco R, Viola R. 2008. Mitochondrial DNA of *Vitis vinifera* and the Issue of Rampant Horizontal Gene Transfer. *Molecular Biology and Evolution* **26**:99-110.
- Hernández-Hernández T, Brown J W, Schlumpberger B O, Eguiarte L E, Magallón S. 2014. Beyond aridification: multiple explanations for the elevated diversification of cacti in the New World Succulent Biome. *New Phytologist* **202**:1382-1397.
- Hernández-Hernández T, Hernández H M, De-Nova J A, Puente R, Eguiarte L E, Magallón S. 2011. Phylogenetic relationships and evolution of growth form in Cactaceae (Caryophyllales, Eudicotyledoneae). *American Journal of Botany* **98**:44-61.
- Hu J, Huang W, Huang Q, Qin X, Yu C, Wang L, Li S, Zhu R, Zhu Y. 2014. Mitochondria and cytoplasmic male sterility in plants. *Mitochondrion* **19**:282-288.
- Hunt D R. 2006. The new cactus lexicon, text and atlas. DH Books, Milborne Port, UK.
- Joppa L N, Roberts D L, Pimm S L. 2011. How many species of flowering plants are there? *Proceedings of the Royal Society B: Biological Sciences* **278**:554-559.
- Kim C-K, Kim Y-K. 2018. The multipartite mitochondrial genome of *Fallopia multiflora* (Caryophyllales: Polygonaceae). *Mitochondrial DNA Part B* **3**:155-156.

- Knoop V, Volkmar U, Hecht J, Grewe F. 2011. Mitochondrial Genome Evolution in the Plant Lineage. *Plant Mitochondria*:3-29.
- Kozik A, Rowan B A, Lavelle D, Berke L, Schranz M E, Michelmore R W, Christensen A C. 2019. The alternative reality of plant mitochondrial DNA: One ring does not rule them all. *PLOS Genetics* **15**:e1008373.
- Lang B F, Gray M W, Burger G. 1999. Mitochondrial genome evolution and the origin of eukaryotes. *Annual Review of Genetics* **33**:351-397.
- Leushkin E V, Sutormin R A, Nabieva E R, Penin A A, Kondrashov A S, Logacheva M D. 2013. The miniature genome of a carnivorous plant *Genlisea aurea* contains a low number of genes and short non-coding sequences. *BMC Genomics* **14**:476.
- Li S, Chen Z, Zhao N, Wang Y, Nie H, Hua J. 2018. The comparison of four mitochondrial genomes reveals cytoplasmic male sterility candidate genes in cotton. *BMC Genomics* **19**:775.
- López-Ortiz N. 2017. Filogeografía y diversificación de *Mammillaria*. Tesis de Maestría, UNAM, Ciudad de México.
- Mering S von et al. 2019. The Global Caryophyllales Initiative: Towards an updated taxonomic backbone and a dynamic monograph of a major plant group. *Biodiversity Information Science and Standards* **3**.
- Mower J P, Sloan D B, Alverson A J. 2012. Plant Mitochondrial Genome Diversity: The Genomics Revolution. *Plant Genome Diversity Volume 1*:123-144.
- Negruk V. 2013. Mitochondrial Genome Sequence of the Legume *Vicia faba*. *Frontiers in Plant Science* **4**.
- Nevill P G, Zhong X, Tonti-Filippini J, Byrne M, Hislop M, Thiele K, van Leeuwen S, Boykin L M, Small I. 2020. Large scale genome skimming from herbarium material for accurate plant identification and phylogenomics. *Plant Methods* **16**:1.
- O'Conner S, Li L. 2020. Mitochondrial Fostering: The Mitochondrial Genome May Play a Role in Plant Orphan Gene Evolution. *Frontiers in Plant Science* **11**:600117.
- Omelchenko D O, Makarenko M S, Kasianov A S, Schelkunov M I, Logacheva M D, Penin A A. 2020. Assembly and Analysis of the Complete Mitochondrial Genome of *Capsella bursa-pastoris*. *Plants* **9**:469.
- Omukai S, Arimura S, Toriyama K, Kazama T. 2021. Disruption of mitochondrial *open reading frame 352* partially restores pollen development in cytoplasmic male sterile rice. *Plant Physiology* **187**:236-246.

- Palmer J D, Adams K L, Cho Y, Parkinson C L, Qiu Y-L, Song K. 2000. Dynamic evolution of plant mitochondrial genomes: Mobile genes and introns and highly variable mutation rates. *Proceedings of the National Academy of Sciences* **97**:6960-6966.
- Pellicer J, Fay M F, Leitch I J. 2010. The largest eukaryotic genome of them all? *Botanical Journal of the Linnean Society* **164**:10-15.
- Putintseva Y A et al. 2020. Siberian larch (*Larix sibirica* Ledeb.) mitochondrial genome assembled using both short and long nucleotide sequence reads is currently the largest known mitogenome. *BMC Genomics* **21**:654.
- Rice D W et al. 2013. Horizontal transfer of entire genomes via mitochondrial fusion in the angiosperm *Amborella*. *Science (New York, N.Y.)* **342**:1468-1473.
- Richardson A O, Palmer J D. 2007. Horizontal gene transfer in plants. *Journal of Experimental Botany* **58**:1-9.
- Rodríguez-Moreno L, González V M, Benjak A, Martí M C, Puigdomènech P, Aranda M A, Garcia-Mas J. 2011. Determination of the melon chloroplast and mitochondrial genome sequences reveals that the largest reported mitochondrial genome in plants contains a significant amount of DNA having a nuclear origin. *BMC Genomics* **12**:424.
- Roger A J, Muñoz-Gómez S A, Kamikawa R. 2017. The Origin and Diversification of Mitochondria. *Current Biology* **27**:R1177-R1192.
- Röschenbleck J, Wicke S, Weint S, Kudla J, Müller K F. 2016. Genus-Wide Screening Reveals Four Distinct Types of Structural Plastid Genome Organization in *Pelargonium* (Geraniaceae). *Genome Biology and Evolution* **9**:64-76.
- Rydin C, Wikström N, Bremer B. 2017. Conflicting results from mitochondrial genomic data challenge current views of Rubiaceae phylogeny. *American Journal of Botany* **104**:1522-1532.
- Saxena R K, Edwards D, Varshney R K. 2014. Structural variations in plant genomes. *Briefings in Functional Genomics* **13**:296-307.
- Skippington E, Barkman T J, Rice D W, Palmer J D. 2015. Miniaturized mitogenome of the parasitic plant *Viscum scurruloideum* is extremely divergent and dynamic and has lost all *nad* genes. *Proceedings of the National Academy of Sciences* **112**:E3515-E3524.
- Sloan D B, Alverson A J, Chuckalovcak J P, Wu M, McCauley D E, Palmer J D, Taylor D R. 2012. Rapid Evolution of Enormous, Multichromosomal Genomes in Flowering Plant Mitochondria with Exceptionally High Mutation Rates. *PLoS Biology* **10**.

- Sloan D B, Alverson A J, Štorchová H, Palmer J D, Taylor D R. 2010. Extensive loss of translational genes in the structurally dynamic mitochondrial genome of the angiosperm *Silene latifolia*. *BMC Evolutionary Biology* **10**:274.
- Solórzano S, Chincoya D A, Sanchez-Flores A, Estrada K, Díaz-Velásquez C E, González-Rodríguez A, Vaca-Paniagua F, Dávila P, Arias S. 2019. De Novo Assembly Discovered Novel Structures in Genome of Plastids and Revealed Divergent Inverted Repeats in *Mammillaria* (Cactaceae, Caryophyllales). *Plants* **8**:392.
- Van Aken O, Van Breusegem F. 2015. Licensed to Kill: Mitochondria, Chloroplasts, and Cell Death. *Trends in Plant Science* **20**:754-766.
- Ward B L, Anderson R S, Bendich A J. 1981. The mitochondrial genome is large and variable in a family of plants (Cucurbitaceae). *Cell* **25**:793-803.
- Warren J M, Salinas-Giegé T, Triant D A, Taylor D R, Drouard L, Sloan D B. 2021. Rapid Shifts in Mitochondrial tRNA Import in a Plant Lineage with Extensive Mitochondrial tRNA Gene Loss. *Molecular Biology and Evolution* **38**:5735-5751.
- Won H, Renner S S. 2003. Horizontal gene transfer from flowering plants to Gnetum. *Proceedings of the National Academy of Sciences* **100**:10824-10829.
- Wu H, Yang J-B, Liu J-X, Li D-Z, Ma P-F. 2022. Organelle Phylogenomics and Extensive Conflicting Phylogenetic Signals in the Monocot Order Poales. *Frontiers in Plant Science* **12**:824672.
- Wu Z, Cuthbert J M, Taylor D R, Sloan D B. 2015. The massive mitochondrial genome of the angiosperm *Silene noctiflora* is evolving by gain or loss of entire chromosomes. *Proceedings of the National Academy of Sciences of the United States of America* **112**:10185-10191.
- Xi Z, Wang Y, Bradley R K, Sugumaran M, Marx C J, Rest J S, Davis C C. 2013. Massive Mitochondrial Gene Transfer in a Parasitic Flowering Plant Clade. *PLoS Genetics* **9**.
- Xiong A-S et al. 2008. Gene duplication and transfer events in plant mitochondria genome. *Biochemical and Biophysical Research Communications* **376**:1-4.
- Yao G et al. 2019. Plastid phylogenomic insights into the evolution of Caryophyllales. *Molecular Phylogenetics and Evolution* **134**:74-86.